



Universidade Estadual de Santa Cruz – UESC

**Relatórios de Implementações de Métodos da Disciplina
Análise Numérica**

**Relatório de implementações
realizadas por Gabriel Rosa Galdino**

Disciplina Análise Numérica.

Curso Ciência da Computação

Semestre 2025.2

Professor Gesil Sampaio Amarante II

**Ilhéus – BA
2025**

ÍNDICE

Lista de Figuras	3
Linguagem Escolhida e justificativas	5
Método da Bisseção	6
Estratégia de Implementação:	6
Estrutura dos Arquivos de Entrada/Saída	6
Dificuldades enfrentadas	7
Método da Posição Falsa	8
Estratégia de Implementação:	8
Estrutura dos Arquivos de Entrada/Saída	8
Dificuldades enfrentadas	9
Método de Newton-Raphson	9
Estratégia de Implementação:	10
Estrutura dos Arquivos de Entrada/Saída	10
Dificuldades enfrentadas	11
Método da secante	12
Estratégia de Implementação:	12
Estrutura dos Arquivos de Entrada/Saída	12
Dificuldades enfrentadas	13
Problemas Estabelecidos	14
Problema 1 (Exercício 3.3)	14
Problema 2 (Exercício 3.6)	19
Problema 3 (Exercício 3.8)	24
Método da Eliminação de Gauss	30
Estratégia de Implementação:	30
Estrutura dos Arquivos de Entrada/Saída	30
Dificuldades enfrentadas	31
Método de Fatoração LU	32
Estratégia de Implementação:	32
Estrutura dos Arquivos de Entrada/Saída	32
Dificuldades enfrentadas	33
Método de Jacobi	34
Estratégia de Implementação:	34
Estrutura dos Arquivos de Entrada/Saída	34
Dificuldades enfrentadas	35
Método de Gauss-Seidel	36
Estratégia de Implementação:	36
Estrutura dos Arquivos de Entrada/Saída	36
Dificuldades enfrentadas	36
Problemas Estabelecidos	38
Problema 1 (Exercício 4.1)	38
Problema 2 (Exercício 4.3)	40

Problema 3 (Exercício 4.6)-----	43
Problema 4 (Exercício 5.1)-----	45
Problema 5 (Exercício 5.2)-----	48
Problema 6 (Exercício 5.5)-----	51
Condição da Matriz-----	53
Estratégia de Implementação:-----	53
Estrutura dos Arquivos de Entrada/Saída-----	53
Dificuldades enfrentadas-----	54
Problemas Estabelecidos-----	55
Problema 1 (Exercício 4.1)-----	55
Problema 2 (Exercício 4.3)-----	56
Problema 3 (Exercício 4.6)-----	57
Problema 4 (Exercício 5.1)-----	58
Problema 5 (Exercício 5.2)-----	59
Problema 6 (Exercício 5.5)-----	60
Considerações Finais-----	61

Lista de Figuras

Figura 1 - Fórmula Iterativa.....	12
Figura 2 – Entrada para o Problema 1 (Exercício 3.3).....	14
Figura 3 – Entrada para o Problema 2 (Exercício 3.3).....	14
Figura 4 - Saída do Método da Bissecção para o Problema 1, Equação 1.....	15
Figura 5 - Saída do Método da Bissecção para o Problema 1, Equação 2.....	15
Figura 6 - Saída do Método da Posição Falsa para o Problema 1, Equação 1.....	16
Figura 7 Saída do Método da Posição Falsa para o Problema 1, Equação 2... 16	
Figura 8 – Saída do Método de Newton-Raphson para o Problema 1, Equação 1.....	17
Figura 9 – Saída do Método de Newton-Raphson para o Problema 1, Equação 2.....	17
Figura 10 – Saída do Método da Secante para o Problema 1, Equação 1.....	18
Figura 11 – Saída do Método da Secante para o Problema 1, Equação 2.....	18
Figura 12 – Entrada para o Problema 2 (Exercício 3.6).....	19
Figura 13 – Saída do Método da Bissecção para o Problema 2.....	20
Figura 14 – Saída do Método da Posição Falsa para o Problema 2.....	21
Figura 15 – Saída do Método de Newton-Raphson para o Problema 2.....	22
Figura 16 – Saída do Método da Secante para o Problema 2.....	22
Figura 17 – Entrada Plano A para o Problema 3 (Exercício 3.8).....	24
Figura 18 – Entrada Plano B para o Problema 3 (Exercício 3.8).....	24
Figura 19 – Saída do Método da Bissecção para o Plano A.....	25
Figura 20 – Saída do Método da Bissecção para o Plano B.....	26
Figura 19 – Saída do Método da Posição Falsa para o Plano A.....	26
Figura 20 – Saída do Método da Posição Falsa para o Plano B.....	27
Figura 21 – Saída do Método de Newton-Raphson para o Plano A.....	28
Figura 22 – Saída do Método de Newton-Raphson para o Plano B.....	28
Figura 23 – Saída do Método de Secante para o Plano A.....	29
Figura 24 – Saída do Método de Secante para o Plano B.....	29
Figura 25 – Circuito Elétrico do Problema 1 (Exercício 4.1).....	38
Figura 26 – Sistema de Equações Lineares do Problema 1.....	38
Figura 27 – Entrada para o Problema 1 (Exercício 4.1).....	38
Figura 28 – Saída do Método da Eliminação de Gauss para o Problema 1	39
Figura 29 – Saída do Método da Fatoração de LU para o Problema 1.....	39
Figura 30 – Labirinto do Problema 2 (Exercício 4.3)	40
Figura 31 – Sistema de Equações Lineares do Problema 2.....	40
Figura 32 – Entrada para o Problema 2 (Exercício 4.3).....	41
Figura 33 – Saída do Método da Eliminação de Gauss para o Problema 2.....	41
Figura 34 – Saída do Método da Fatoração de LU para o Problema 2.....	42

Figura 35 – Circuito em Escada do Problema 3 (Exercício 4.6).....	43
Figura 36 – Sistema de Equações Lineares do Problema 3.....	43
Figura 37 – Entrada para o Problema 3 (Exercício 4.6).....	43
Figura 38 – Saída do Método da Eliminação de Gauss para o Problema 3.....	44
Figura 39 – Saída do Método da Fatoração de LU para o Problema 3.....	45
Figura 40 – Sistema Linear da Equação de Laplace (Exercício 5.1).....	45
Figura 41 - Matriz do (Exercício 5.1).....	45
Figura 42 – Entrada para o Problema 4 (Exercício 5.1).....	45
Figura 43 – Saída do Método de Jacobi para o Problema 4.....	47
Figura 44 – Saída do Método de Gauss-Seidel para o Problema 4.....	47
Figura 45 – Sistema de Equações Lineares do Problema 5.....	48
Figura 46 – Entrada para o Problema 5 (Exercício 5.2).....	48
Figura 47 – Saída do Método de Jacobi para o Problema 5.....	49
Figura 48 – Saída do Método de Gauss-Seidel para o Problema 5.....	50
Figura 49 – Malha de Temperatura da Membrana (Exercício 5.5).....	51
Figura 50 – Entrada para o Problema 6 (Exercício 5.5).....	51
Figura 51 – Saída do Método de Jacobi para o Problema 6.....	52
Figura 52 – Saída do Método de Gauss-Seidel para o Problema 6.....	52
Figura 53 – Entrada para a Matriz do Problema 4.1.....	55
Figura 54 – Saída da Análise de Condicionamento para o Problema 4.1.....	55
Figura 55 – Entrada para a Matriz do Problema 4.3.....	56
Figura 56 – Saída da Análise de Condicionamento para o Problema 4.3.....	56
Figura 57 – Entrada para a Matriz do Problema 4.6.....	57
Figura 58 – Saída da Análise de Condicionamento para o Problema 4.6.....	57
Figura 59 – Entrada para a Matriz do Problema 5.1.....	58
Figura 60 – Saída da Análise de Condicionamento para o Problema 5.1.....	58
Figura 61 – Entrada para a Matriz do Problema 5.2.....	59
Figura 62 – Saída da Análise de Condicionamento para o Problema 5.2.....	59
Figura 63 – Entrada para a Matriz do Problema 5.5.....	60
Figura 64 – Saída da Análise de Condicionamento para o Problema 5.5.....	60

Linguagem Escolhida e justificativas

A linguagem Python foi a selecionada para este trabalho devido à sua simplicidade e ao seu poderoso ecossistema para computação científica, o que permitiu focar mais na lógica dos métodos do que em complexidades de programação.

A escolha é justificada principalmente pelo uso de bibliotecas essenciais como o NumPy, que oferece uma base sólida para operações matemáticas de alta performance. Para a visualização e análise dos dados, foi fundamental o uso do Matplotlib. Além disso, a biblioteca SciPy foi de grande ajuda, pois já contém implementações de diversos algoritmos numéricos, o que facilitou a verificação e a aplicação prática dos métodos abordados na disciplina.

Dessa forma, o Python se mostrou a escolha ideal para os objetivos deste relatório, aliando um código legível a um ambiente computacional robusto, o que tornou a implementação dos métodos uma tarefa prática e didática.

Método da Bisseção

Estratégia de Implementação:

Para resolver numericamente equações do tipo $f(x)=0$, implementei o método da bissecção em Python. A estratégia adotada no meu código começa com uma validação essencial: a verificação de que os valores da função nos extremos do intervalo $[a,b]$ possuem sinais opostos, através da condição **if `self.f(self.a) * self.f(self.b) >= 0:`**. Se esta premissa fundamental do método não for atendida, o programa exibe um aviso e interrompe a execução, garantindo que o algoritmo não prossiga em um cenário onde a convergência não é garantida.

A função matemática é lida como uma *string* de um arquivo de entrada, e para interpretá-la de forma flexível, utilizei a biblioteca SymPy. Através da função **lambdify**, a expressão simbólica é convertida em uma função numérica de alta performance, que pode ser avaliada eficientemente dentro do laço de iterações.

O processo iterativo consiste em calcular o ponto médio $c=(a+b)/2$ e, em seguida, reduzir o intervalo de busca pela metade, atualizando **a** ou **b** com base no sinal do produto **f(a) * f(c)**. O critério de parada que implementei é duplo, para assegurar tanto precisão quanto eficiência: o laço é interrompido se o erro, medido pela metade da amplitude do intervalo, for menor que a tolerância definida (**error / 2 < self.tolerance**), ou se o valor da função no ponto **c** já for residual ($\text{abs}(f_c) < 1e-15$). Adicionalmente, incluí um limite de 1000 iterações como uma salvaguarda para evitar loops infinitos.

Estrutura dos Arquivos de Entrada/Saída

A estrutura dos arquivos de entrada e saída, foi projetada para ser intuitiva, legível e de fácil automação para testes.

- Arquivo de Entrada (ex: **entrada.txt**)

O programa espera um arquivo de texto localizado em um diretório chamado `input/`. Este arquivo deve conter quatro linhas, que são lidas e processadas pelo construtor da classe `CalculadorDeRaizes`:

- **Expressão da função:** A função a ser analisada, em formato de *string*.
- **Extremo inferior do intervalo (a):** O valor inicial do intervalo.
- **Extremo superior do intervalo (b):** O valor final do intervalo.
- **Tolerância (opcional):** A precisão desejada. Implementei a lógica para que, se esta linha estiver vazia, uma tolerância padrão de $1e-8$ seja automaticamente adotada.

- Arquivo de Saída (**bissecao_saida.txt**)

Após a execução, um relatório detalhado é gerado no diretório **output/**. A saída é formatada para oferecer uma análise clara do processo de convergência:

- Um cabeçalho identifica o método e a função analisada.
- Uma tabela exibe o progresso de cada iteração com as colunas: **Iter, a, b, c (raiz), f(c) e Erro |b-a|**.
- Ao final do arquivo, um bloco de resumo apresenta de forma concisa a raiz encontrada, o erro final estimado, o número total de iterações e o tempo de execução, permitindo uma rápida verificação dos resultados.

Dificuldades enfrentadas

A principal dificuldade na implementação do método da bissecção foi garantir sua robustez. O desafio inicial foi como lidar com um intervalo de entrada inválido. Para solucionar isso, implementei a verificação explícita de $f(a) \cdot f(b) < 0$ no início da função. Dessa forma, em vez de falhar ou entrar em um loop incorreto, o programa informa o usuário sobre a inadequação do intervalo, o que torna a ferramenta mais confiável.

Outro ponto de atenção foi o critério de parada. Confiar apenas na tolerância do intervalo poderia ser insuficiente se a função se aproximasse de zero muito rapidamente. Por isso, adotei um critério duplo, que verifica tanto a amplitude do intervalo quanto o valor de $|f(c)|$, garantindo que o método pare assim que uma das condições de sucesso for atingida.

Finalmente, para evitar que o programa ficasse preso em um loop caso a convergência fosse muito lenta ou impossível, estabeleci um limite máximo de iterações. Essa medida simples funciona como um mecanismo de segurança essencial, garantindo que o programa sempre termine, mesmo que a solução não seja encontrada dentro do limite estipulado.

Método da Posição Falsa

Estratégia de Implementação:

Para a implementação do método da Posição Falsa, segui uma abordagem que combina a segurança de um método de intervalo com uma convergência potencialmente mais rápida que a da bissecção. Assim como no método anterior, a primeira etapa é a validação do intervalo inicial $[a,b]$, garantindo que a condição **`self.f(self.a) * self.f(self.b) < 0`** seja satisfeita. Se os valores da função nos extremos não tiverem sinais opostos, o programa emite um aviso e não prossegue.

O diferencial deste método, e o ponto central da minha implementação, está no cálculo da nova aproximação da raiz. Em vez de simplesmente dividir o intervalo ao meio, utilizei a fórmula da interpolação linear: **`c = (a * f_b - b * f_a) / (f_b - f_a)`**. Essa fórmula determina o ponto c onde a reta que conecta $(a, f(a))$ e $(b, f(b))$ cruza o eixo x , o que geralmente aproxima a raiz de forma mais eficiente. Para o critério de parada, decidi utilizar uma medida de erro baseada na diferença entre a aproximação atual e a anterior (**`error = abs(c - c_old)`**). Essa abordagem monitora o quanto a solução está mudando a cada passo. O processo iterativo termina quando este erro se torna menor que a tolerância especificada (**`error < self.tolerance`**) ou quando o valor da função em c é suficientemente próximo de zero (**`abs(f_c) < 1e-15`**). A variável **`c_old`** é inicializada com um valor infinito para garantir que o cálculo do erro na primeira iteração seja válido. Após o cálculo de c , o intervalo é atualizado de forma análoga à bissecção, mantendo a raiz sempre isolada.

Estrutura dos Arquivos de Entrada/Saída

A estrutura dos arquivos foi mantida consistente com a implementação anterior para garantir a modularidade e a facilidade de uso do programa.

- **Arquivo de Entrada (ex: `entrada.txt`)** O programa lê os dados de um arquivo de texto localizado no diretório **`input/`**, que deve seguir o mesmo formato de quatro linhas:
 - **Expressão da função:** A função em formato de *string*.
 - **Extremo inferior do intervalo (a).**
 - **Extremo superior do intervalo (b).**
 - **Tolerância (opcional):** Com um valor padrão de $1e-8$ caso a linha esteja vazia.

- **Arquivo de Saída (`posicao_falsa_saida.txt`)** O relatório de execução é salvo em um arquivo específico no diretório **output/**. A estrutura da saída foi projetada para ser clara e informativa:
 - Um cabeçalho que identifica o método e a função.
 - Uma tabela detalhada do processo iterativo, com as colunas: **Iter**, **a**, **b**, **c (raiz)**, **f(c)** e **Erro $|c-c_{old}|$** . A coluna de erro reflete a métrica de convergência que implementei.
 - Um bloco de resumo ao final do arquivo, com a raiz final, o erro, o número de iterações e o tempo de execução.

Dificuldades enfrentadas

A principal dificuldade na implementação do método da Posição Falsa foi a definição e o controle do critério de convergência. Ao contrário da bissecção, onde o erro pode ser medido pela amplitude do intervalo, aqui optei por medir a variação entre aproximações sucessivas ($|C-C_{antigo}|$). Isso exigiu a criação de uma variável adicional, **c_old**, para armazenar o valor da iteração anterior e o cuidado de inicializá-la de forma que não afetasse a primeira iteração.

Método de Newton-Raphson

Estratégia de Implementação:

Para a implementação do método de Newton-Raphson, adotei uma estratégia que aproveita a rápida convergência do método, ao mesmo tempo em que automatiza uma de suas etapas mais complexas: o cálculo da derivada. A essência do algoritmo, presente no meu código, está na fórmula iterativa $X_{i+1} = X_i - \frac{f(x_i)}{f'(x_i)}$, que utiliza a reta tangente à função em um ponto para encontrar a próxima aproximação da raiz.

A característica mais significativa desta implementação é o cálculo automático da derivada. Utilizando a biblioteca **SymPy**, o programa lê a função como uma *string*, calcula sua derivada simbólica com a função **diff**, e então converte tanto a função original quanto sua derivada em funções numericamente executáveis através de **lambdify**. Isso elimina a necessidade de o usuário fornecer a derivada manualmente, tornando a ferramenta mais prática e menos suscetível a erros.

O chute inicial, **x**, é determinado de forma pragmática, utilizando o ponto médio do intervalo **[a, b]** fornecido no arquivo de entrada. O critério de parada é duplo, interrompendo as iterações quando a diferença absoluta entre as aproximações sucessivas (**error = abs(x_new - x)**) for menor que a tolerância definida, ou quando o valor da função no ponto atual, $|f(x_i)|$, for praticamente nulo.

Para garantir a robustez do método, implementei uma verificação crucial para evitar a divisão por zero ou valores muito pequenos, que é um ponto de falha comum. A condição **if abs(f_prime_x) < 1e-12**: interrompe o método e informa o usuário caso a derivada se aproxime de zero, prevenindo instabilidade numérica.

Estrutura dos Arquivos de Entrada/Saída

A estrutura de arquivos foi mantida consistente com os outros métodos, facilitando a interoperabilidade e a realização de testes comparativos.

- **Arquivo de Entrada (ex: entrada.txt)** O programa utiliza o mesmo formato de arquivo de entrada, localizado no diretório **input/**:
 - **Expressão da função:** A função em formato de *string*.
 - **Extremo inferior do intervalo (a):** Usado para calcular o chute inicial.

- **Extremo superior do intervalo (b):** Usado para calcular o chute inicial.
- **Tolerância (opcional):** Com o valor padrão $1e-8$ se não for especificado.
- **Arquivo de Saída ([newton_raphson_saida.txt](#))** O relatório gerado no diretório **output/** foi customizado para refletir as particularidades do método:
 - O cabeçalho informa o método, a função e o chute inicial utilizado.
 - A tabela de iterações exibe informações detalhadas, incluindo as colunas: **Iter**, **x_i** , **$f(x_i)$** , **$f'(x_i)$** (o valor da derivada) e **Erro $|x_i - x_{i-1}|$** . A inclusão do valor da derivada é útil para analisar o comportamento da convergência.
 - O arquivo é finalizado com o mesmo bloco de resumo, apresentando a raiz encontrada, o erro final, o número de iterações e o tempo de execução.

Dificuldades enfrentadas

A principal dificuldade teórica na aplicação do método de Newton-Raphson é a necessidade de se obter a derivada da função. Para contornar esse desafio e tornar a implementação mais eficiente, optei por automatizar esse processo. A integração com a biblioteca **SymPy** para realizar a diferenciação simbólica foi a solução encontrada, o que exigiu um tratamento cuidadoso das expressões matemáticas lidas do arquivo.

O segundo desafio significativo foi lidar com a instabilidade numérica que ocorre quando a derivada da função se aproxima de zero, o que corresponde a um ponto de inclinação horizontal na reta tangente. Para garantir que o programa não falhasse com um erro de divisão por zero, implementei uma verificação explícita que interrompe a execução de forma controlada caso **$|f'(x)|$** seja menor que um limiar ($1e-12$), informando ao usuário a causa da falha.

Método da secante

Estratégia de Implementação:

Desenvolvi o método da Secante como uma alternativa eficiente ao método de Newton-Raphson, com a vantagem de não requerer o cálculo explícito da derivada da função. A estratégia se baseia em aproximar a derivada utilizando a inclinação da reta que passa pelos dois últimos pontos calculados. A fórmula iterativa que implementei é

$$x_{i+1} = x_i - f(x_i) \frac{x_i - x_{i-1}}{f(x_i) - f(x_{i-1})}.$$

Figura 1 - Fórmula Iterativa.

Para dar início ao processo, o algoritmo utiliza os valores *a* e *b* do arquivo de entrada como os dois pontos iniciais, *x0* e *x1*. Em cada iteração, esses dois pontos são usados para calcular uma nova aproximação, *x2*. O erro é então medido pela diferença absoluta entre as duas últimas aproximações, **error = abs(x2 - x1)**.

O critério de parada é similar ao dos outros métodos, combinando a verificação da tolerância com a análise do resíduo da função. O laço termina se **error < self.tolerance** ou se o valor absoluto da função na nova aproximação, **abs(self.f(x2))**, for suficientemente próximo de zero.

Uma preocupação central na implementação foi a estabilidade numérica. O denominador da fórmula, *f(x1) - f(x0)*, pode se aproximar de zero se os valores da função nos dois pontos forem muito similares. Para evitar uma divisão instável, adicionei a condição `if abs(f_x1 - f_x0) < 1e-12:`, que interrompe o método de forma segura caso isso ocorra. Ao final de cada passo, os pontos são atualizados (*x0*, *x1* = *x1*, *x2*) para preparar a próxima iteração.

Estrutura dos Arquivos de Entrada/Saída

A estrutura de arquivos foi mantida consistente para garantir uma experiência de uso uniforme em todo o código.

- **Arquivo de Entrada (ex: *entrada.txt*)** O método utiliza o mesmo formato de arquivo de entrada, localizado no diretório **input/**:
 - **Expressão da função:** A função em formato de *string*.
 - **Ponto inicial (a):** Utilizado como o primeiro ponto, *x0*.

- **Ponto inicial (b):** Utilizado como o segundo ponto, x_1 .
- **Tolerância (opcional):** Com o valor padrão $1e-8$ se não for especificado.
- **Arquivo de Saída (**secante_saida.txt**)** O relatório gerado no diretório **output/** foi adaptado para refletir as informações relevantes para o método da Secante:
 - O cabeçalho informa o método, a função e os pontos iniciais x_0 e x_1 .
 - A tabela de progresso contém as colunas: Iter, x_{i+1} (a nova aproximação), $f(x_{i+1})$ e Erro $|x_{i+1} - x_i|$.
 - O arquivo é concluído com o bloco de resumo padrão, que informa a raiz encontrada, o erro final, o total de iterações e o tempo de execução.

Dificuldades enfrentadas

A principal dificuldade na implementação do método da Secante foi garantir a estabilidade numérica, especificamente em relação à divisão na fórmula iterativa. Se os valores da função nos dois pontos de referência, $f(x_1)$ e $f(x_0)$, forem quase idênticos, o denominador se aproxima de zero, o que pode levar a um resultado incorreto ou a um erro de execução. Para mitigar esse risco, implementei uma verificação explícita que interrompe o algoritmo e notifica o usuário se o denominador for perigosamente pequeno, garantindo que o programa não falhe de forma inesperada.

Problemas Estabelecidos

Problema 1 (Exercício 3.3)

Um amplificador eletrônico com acoplamento R - C com três estágios em cascata tem uma resposta a um degrau unitário de tensão dada pela expressão: $g(T) = 1 - (1 + T + T^2/2)e^{-T}$; onde $T = t/RC$ é uma unidade de tempo normalizada. O tempo de subida de um amplificador é definido como o tempo necessário para sua resposta ir de 10% a 90% de seu valor final. No caso, como $g(\infty) = 1$ é necessário calcular os valores de T para os quais $g(T) = 0.1$ e $g(T) = 0.9$, ou seja, resolver as equações:

- $0.1 = 1 - (1 + T + T^2/2)e^{-T}$
- $0.9 = 1 - (1 + T + T^2/2)e^{-T}$

Entrada 1:

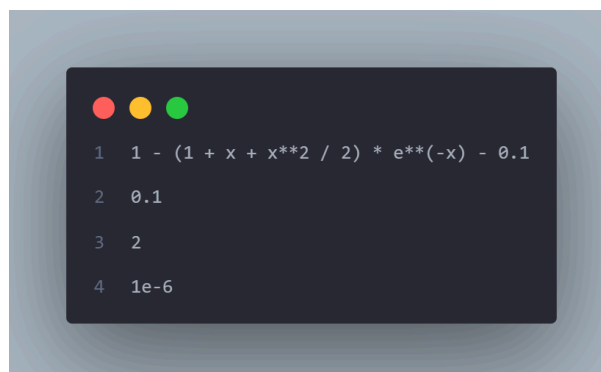


Figura 2 – Entrada para o Problema 1 (Exercício 3.3).

Entrada 2:



Figura 3 – Entrada para o Problema 2 (Exercício 3.3).

Bisseção

Saída 1:

```
1 --- Relatorio do Metodo da Bissecacao ---
2 Funcao: f(x) = 1 - (1 + x + x**2 / 2) * e**(-x) - 0.1
3
4 Iter | a | b | c (raiz) | f(c) | Erro |b-a|
5 -----
6 1 | 0.100000 | 2.000000 | 1.050000 | -1.027557e-02 | 1.900000e+00
7 2 | 1.050000 | 2.000000 | 1.525000 | 9.745435e-02 | 9.500000e-01
8 3 | 1.050000 | 1.525000 | 1.287500 | 4.001865e-02 | 4.750000e-01
9 4 | 1.050000 | 1.287500 | 1.168750 | 1.380766e-02 | 2.375000e-01
10 5 | 1.050000 | 1.168750 | 1.109375 | 1.478935e-03 | 1.187500e-01
11 6 | 1.050000 | 1.109375 | 1.079687 | -4.472687e-03 | 5.937500e-02
12 7 | 1.079687 | 1.109375 | 1.094531 | -1.515147e-03 | 2.968750e-02
13 8 | 1.094531 | 1.109375 | 1.101953 | -2.263338e-05 | 1.484375e-02
14 9 | 1.101953 | 1.109375 | 1.105664 | 7.270242e-04 | 7.421875e-03
15 10 | 1.101953 | 1.105664 | 1.103809 | 3.519131e-04 | 3.710937e-03
16 11 | 1.101953 | 1.103809 | 1.102881 | 1.645692e-04 | 1.855469e-03
17 12 | 1.101953 | 1.102881 | 1.102417 | 7.095023e-05 | 9.277344e-04
18 13 | 1.101953 | 1.102417 | 1.102185 | 2.415401e-05 | 4.638672e-04
19 14 | 1.101953 | 1.102185 | 1.102069 | 7.592099e-07 | 2.319336e-04
20 15 | 1.101953 | 1.102069 | 1.102011 | -1.093736e-05 | 1.159668e-04
21 16 | 1.102011 | 1.102069 | 1.102040 | -5.089144e-06 | 5.798340e-05
22 17 | 1.102040 | 1.102069 | 1.102055 | -2.164984e-06 | 2.899170e-05
23 18 | 1.102055 | 1.102069 | 1.102062 | -7.028916e-07 | 1.449585e-05
24 19 | 1.102062 | 1.102069 | 1.102065 | 2.815808e-08 | 7.247925e-06
25 20 | 1.102062 | 1.102065 | 1.102064 | -3.373670e-07 | 3.623962e-06
26 21 | 1.102064 | 1.102065 | 1.102065 | -1.546045e-07 | 1.811981e-06
27
28 -----
29 --- Resumo Final ---
30 Raiz encontrada: 1.10206456
31 Erro final estimado: 9.06e-07
32 Numero de iteracoes: 21
33 Tempo de execucao: 0.007855 segundos
```

Figura 4 - Saída do Método da Bissecção para o Problema 1, Equação 1.

Saída 2:

```
1 --- Relatorio do Metodo da Bissecacao ---
2 Funcao: f(x) = 1 - (1 + x + x**2 / 2) * e**(-x) - 0.9
3
4 Iter | a | b | c (raiz) | f(c) | Erro |b-a|
5 -----
6 1 | 3.000000 | 6.000000 | 4.500000 | -7.357807e-02 | 3.000000e+00
7 2 | 4.500000 | 6.000000 | 5.250000 | -5.114353e-03 | 1.500000e+00
8 3 | 5.250000 | 6.000000 | 5.625000 | 1.904956e-02 | 7.500000e-01
9 4 | 5.250000 | 5.625000 | 5.437500 | 7.682609e-03 | 3.750000e-01
10 5 | 5.250000 | 5.437500 | 5.343750 | 1.471733e-03 | 1.875000e-01
11 6 | 5.250000 | 5.343750 | 5.296875 | -1.773275e-03 | 9.375000e-02
12 7 | 5.296875 | 5.343750 | 5.320312 | -1.389052e-04 | 4.687500e-02
13 8 | 5.320312 | 5.343750 | 5.332031 | 6.693628e-04 | 2.343750e-02
14 9 | 5.320312 | 5.332031 | 5.326172 | 2.659682e-04 | 1.171875e-02
15 10 | 5.320312 | 5.326172 | 5.323242 | 6.371663e-05 | 5.859375e-03
16 11 | 5.320312 | 5.323242 | 5.321777 | -3.754796e-05 | 2.929688e-03
17 12 | 5.321777 | 5.323242 | 5.322510 | 1.309591e-05 | 1.464844e-03
18
19 -----
20 --- Resumo Final ---
21 Raiz encontrada: 5.32250977
22 Erro final estimado: 7.32e-04
23 Numero de iteracoes: 12
24 Tempo de execucao: 0.000062 segundos
```

Figura 5 - Saída do Método da Bissecção para o Problema 1, Equação 2.

Posição Falsa

Saída 1:

```
1 --- Relatorio do Metodo da Posicao Falsa ---
2 Funcao: f(x) = 1 - (1 + x + x**2 / 2) * e**(-x) - 0.1
3
4 Iter |          a |          b |    c (raiz) |          f(c) |      Erro |c-c_old|
5 -----
6 1 | 0.100000 | 2.000000 | 0.687019 | -6.741872e-02 |          inf
7 2 | 0.687019 | 2.000000 | 0.991479 | -2.125926e-02 | 3.044604e-01
8 3 | 0.991479 | 2.000000 | 1.079140 | -4.581043e-03 | 8.766114e-02
9 4 | 1.079140 | 2.000000 | 1.097650 | -8.890757e-04 | 1.850993e-02
10 5 | 1.097650 | 2.000000 | 1.101228 | -1.688222e-04 | 3.578110e-03
11 6 | 1.101228 | 2.000000 | 1.101907 | -3.192207e-05 | 6.789161e-04
12 7 | 1.101907 | 2.000000 | 1.102035 | -6.031230e-06 | 1.283559e-04
13 8 | 1.102035 | 2.000000 | 1.102060 | -1.139345e-06 | 2.425039e-05
14 9 | 1.102060 | 2.000000 | 1.102064 | -2.152246e-07 | 4.581057e-06
15 10 | 1.102064 | 2.000000 | 1.102065 | -4.065616e-08 | 8.653706e-07
16
17 -----
18 --- Resumo Final ---
19 Raiz encontrada: 1.10206513
20 Erro final estimado: 8.65e-07
21 Numero de iteracoes: 10
22 Tempo de execucao: 0.003028 segundos
```

Figura 6 - Saída do Método da Posição Falsa para o Problema 1, Equação 1.

Saída 2:

```
1 --- Relatorio do Metodo da Posicao Falsa ---
2 Funcao: f(x) = 1 - (1 + x + x**2 / 2) * e**(-x) - 0.9
3
4 Iter |          a |          b |    c (raiz) |          f(c) |      Erro |c-c_old|
5 -----
6 1 | 3.000000 | 6.000000 | 5.684145 | 2.236057e-02 |          inf
7 2 | 3.000000 | 5.684145 | 5.510454 | 1.226761e-02 | 1.736909e-01
8 3 | 3.000000 | 5.510454 | 5.418647 | 6.462903e-03 | 9.180671e-02
9 4 | 3.000000 | 5.418647 | 5.371229 | 3.330284e-03 | 4.741799e-02
10 5 | 3.000000 | 5.371229 | 5.347044 | 1.696239e-03 | 2.418492e-02
11 6 | 3.000000 | 5.347044 | 5.334790 | 8.588088e-04 | 1.225397e-02
12 7 | 3.000000 | 5.334790 | 5.328603 | 4.334959e-04 | 6.187765e-03
13 8 | 3.000000 | 5.328603 | 5.325483 | 2.184767e-04 | 3.119178e-03
14 9 | 3.000000 | 5.325483 | 5.323912 | 1.100241e-04 | 1.570966e-03
15 10 | 3.000000 | 5.323912 | 5.323122 | 5.538608e-05 | 7.908639e-04
16
17 -----
18 --- Resumo Final ---
19 Raiz encontrada: 5.32312163
20 Erro final estimado: 7.91e-04
21 Numero de iteracoes: 10
22 Tempo de execucao: 0.000099 segundos
```

Figura 7 Saída do Método da Posição Falsa para o Problema 1, Equação 2.

Newton-Raphson

Saída 1:

```
1  --- Relatorio do Metodo de Newton-Raphson ---
2  Funcao: f(x) = 1 - (1 + x + x**2 / 2) * e**(-x) - 0.1
3  Chute inicial: x0 = 1.050000
4
5  Iter |          x_i |          f(x_i) |          f'(x_i) |      Erro |x_i-x_{i-1}|
6  ---|-----|
7  1 |      1.05000000 |      -1.027557e-02 |      1.929032e-01 |      5.326802e-02
8  2 |      1.10326802 |      2.427332e-04 |      2.019244e-01 |      1.202099e-03
9  3 |      1.10206592 |      1.186401e-07 |      2.017270e-01 |      5.881222e-07
10
11 -----
12 --- Resumo Final ---
13 Raiz encontrada:      1.10206533
14 Erro final estimado: 5.88e-07
15 Numero de iteracoes: 3
16 Tempo de execucao:   0.000849 segundos
```

Figura 8 – Saída do Método de Newton-Raphson para o Problema 1, Equação 1.

Saída 2:

```
1  --- Relatorio do Metodo de Newton-Raphson ---
2  Funcao: f(x) = 1 - (1 + x + x**2 / 2) * e**(-x) - 0.9
3  Chute inicial: x0 = 4.500000
4
5  Iter |          x_i |          f(x_i) |          f'(x_i) |      Erro |x_i-x_{i-1}|
6  ---|-----|
7  1 |      4.50000000 |      -7.357807e-02 |      1.124786e-01 |      6.541518e-01
8  2 |      5.15415179 |      -1.225480e-02 |      7.671225e-02 |      1.597502e-01
9  3 |      5.31390198 |      -5.835609e-04 |      6.950224e-02 |      8.396290e-03
10 4 |      5.32229827 |      -1.525632e-06 |      6.913909e-02 |      2.206612e-05
11
12 -----
13 --- Resumo Final ---
14 Raiz encontrada:      5.32232034
15 Erro final estimado: 2.21e-05
16 Numero de iteracoes: 4
17 Tempo de execucao:   0.001422 segundos
```

Figura 9 – Saída do Método de Newton-Raphson para o Problema 1, Equação 2.

Secante

Saída 1:

```
1  --- Relatorio do Metodo da Secante ---
2  Funcao: f(x) = 1 - (1 + x + x**2 / 2) * e**(-x) - 0.1
3  Pontos iniciais: x0 = 0.1, x1 = 2.0
4
5  Iter |          x_i+1 |          f(x_i+1) |          Erro |x_i+1 - x_i|
6  -----
7      1 |      0.68701856 |      -6.741872e-02 |      1.312981e+00
8      2 |      0.99147898 |      -2.125926e-02 |      3.044604e-01
9      3 |      1.13170167 |       6.049765e-03 |      1.402227e-01
10     4 |      1.10063816 |      -2.877313e-04 |      3.106352e-02
11     5 |      1.10204848 |      -3.397767e-06 |      1.410328e-03
12     6 |      1.10206534 |       1.977824e-09 |      1.685332e-05
13     7 |      1.10206533 |      -1.365574e-14 |      9.804533e-09
14
15 -----
16 --- Resumo Final ---
17 Raiz encontrada:      1.10206533
18 Erro final estimado: 9.80e-09
19 Numero de iteracoes: 7
20 Tempo de execucao:   0.000111 segundos
```

Figura 10 – Saída do Método da Secante para o Problema 1, Equação 1.

Saída 2:

```
1  --- Relatorio do Metodo da Secante ---
2  Funcao: f(x) = 1 - (1 + x + x**2 / 2) * e**(-x) - 0.9
3  Pontos iniciais: x0 = 3.0, x1 = 6.0
4
5  Iter |          x_i+1 |          f(x_i+1) |          Erro |x_i+1 - x_i|
6  -----
7      1 |      5.68414489 |       2.236057e-02 |      3.158551e-01
8      2 |      5.23344827 |      -6.317479e-03 |      4.506966e-01
9      3 |      5.33273211 |       7.175158e-04 |      9.928384e-02
10     4 |      5.32260592 |       1.974298e-05 |      1.012619e-02
11     5 |      5.32231941 |      -6.426063e-08 |      2.865133e-04
12
13 -----
14 --- Resumo Final ---
15 Raiz encontrada:      5.32231941
16 Erro final estimado: 2.87e-04
17 Numero de iteracoes: 5
18 Tempo de execucao:   0.000110 segundos
```

Figura 11 – Saída do Método da Secante para o Problema 1, Equação 2.

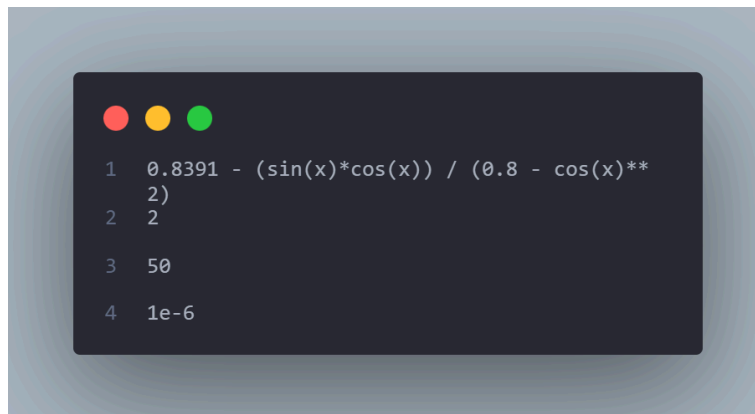
Problema 2 (Exercício 3.6)

A equação: $\tan(\theta/2) = (\sin \alpha \cos \alpha) / (gR/v^2 - \cos^2 \alpha)$, permite calcular o ângulo de inclinação, α , em que o lançamento do míssil deve ser feito para atingir um determinado alvo. Na equação acima,

- α - ângulo de inclinação com a superfície da Terra com a qual é feita o lançamento do míssil ,
- g - aceleração da gravidade $\approx 9.81 \text{ m/s}^2$,
- R - raio da Terra $\approx 6371000 \text{ m}$,
- v - velocidade de lançamento do míssil, m/s ,
- θ - ângulo (medido do centro da Terra) entre o ponto de lançamento e o ponto de impacto desejado

Resolva o problema considerando: $\theta = 80^\circ$ e v tal que $v^2/gR = 1.25$, ou seja, aproximadamente 8.840 m/s .

Entrada:



```
1  0.8391 - (sin(x)*cos(x)) / (0.8 - cos(x)**
2  2)
3  50
4  1e-6
```

Figura 12 – Entrada para o Problema 2 (Exercício 3.6).

Bisseção

Saída:

```
1  --- Relatorio do Metodo da Bissecacao ---
2  Funcao: f(x) = 0.8391 - (sin(x)*cos(x)) / (0.8 - cos(x)**2)
3
4  Iter |          a |          b |      c (raiz) |          f(c) |          Erro |b-a|
5  -----
6      1 |    1.000000 |    2.000000 |    1.500000 |    7.503449e-01 |    1.000000e+00
7      2 |    1.000000 |    1.500000 |    1.250000 |    4.119688e-01 |    5.000000e-01
8      3 |    1.000000 |    1.250000 |    1.125000 |    2.055795e-01 |    2.500000e-01
9      4 |    1.000000 |    1.125000 |    1.062500 |    8.411003e-02 |    1.250000e-01
10     5 |    1.000000 |    1.062500 |    1.031250 |    1.687593e-02 |    6.250000e-02
11     6 |    1.000000 |    1.031250 |    1.015625 |   -1.870349e-02 |    3.125000e-02
12     7 |    1.015625 |    1.031250 |    1.023438 |   -7.384560e-04 |    1.562500e-02
13     8 |    1.023438 |    1.031250 |    1.027344 |    8.111630e-03 |    7.812500e-03
14     9 |    1.023438 |    1.027344 |    1.025391 |    3.697426e-03 |    3.906250e-03
15    10 |    1.023438 |    1.025391 |    1.024414 |    1.482209e-03 |    1.953125e-03
16    11 |    1.023438 |    1.024414 |    1.023926 |    3.725594e-04 |    9.765625e-04
17    12 |    1.023438 |    1.023926 |    1.023682 |   -1.827774e-04 |    4.882812e-04
18    13 |    1.023682 |    1.023926 |    1.023804 |    9.493370e-05 |    2.441406e-04
19    14 |    1.023682 |    1.023804 |    1.023743 |   -4.391116e-05 |    1.220703e-04
20    15 |    1.023743 |    1.023804 |    1.023773 |    2.551394e-05 |    6.103516e-05
21    16 |    1.023743 |    1.023773 |    1.023758 |   -9.197942e-06 |    3.051758e-05
22    17 |    1.023758 |    1.023773 |    1.023766 |    8.158165e-06 |    1.525879e-05
23    18 |    1.023758 |    1.023766 |    1.023762 |   -5.198469e-07 |    7.629395e-06
24    19 |    1.023762 |    1.023766 |    1.023764 |    3.819170e-06 |    3.814697e-06
25    20 |    1.023762 |    1.023764 |    1.023763 |    1.649664e-06 |    1.907349e-06
26
27  -----
28  --- Resumo Final ---
29  Raiz encontrada:    1.02376270
30  Erro final estimado: 9.54e-07
31  Numero de iteracoes: 20
32  Tempo de execucao:  0.000153 segundos
```

Figura 13 – Saída do Método da Bissecção para o Problema 2.

Posição Falsa

Saída:

```
1  --- Relatorio do Metodo da Posicao Falsa ---
2  Funcao: f(x) = 0.8391 - (sin(x)*cos(x)) / (0.8 - cos(x)**2)
3
4  Iter |          a |          b |      c (raiz) |      f(c) |      Erro |c-c_old|
5  -----
6  1 | 2.000000 | 50.000000 | 29.329453 | 6.866979e-02 | inf
7  2 | 29.329453 | 50.000000 | 30.553201 | 2.149464e+00 | 1.223748e+00
8  3 | 30.553201 | 50.000000 | 43.451677 | 8.618796e+00 | 1.289848e+01
9  4 | 43.451677 | 50.000000 | 49.264079 | 1.730559e+00 | 5.812402e+00
10 5 | 49.264079 | 50.000000 | 49.715406 | 6.921218e+00 | 4.513263e-01
11 6 | 49.715406 | 50.000000 | 49.961240 | -1.753124e+00 | 2.458344e-01
12 7 | 49.715406 | 49.961240 | 49.911556 | -3.230791e+00 | 4.968424e-02
13 8 | 49.715406 | 49.911556 | 49.849133 | -9.310960e+00 | 6.242313e-02
14 9 | 49.715406 | 49.849133 | 49.772425 | 1.818809e+01 | 7.670732e-02
15 10 | 49.772425 | 49.849133 | 49.823160 | -2.221157e+01 | 5.073483e-02
16 11 | 49.772425 | 49.823160 | 49.795267 | 7.733061e+01 | 2.789380e-02
17 12 | 49.795267 | 49.823160 | 49.816936 | -3.188115e+01 | 2.166966e-02
18 13 | 49.795267 | 49.816936 | 49.810610 | -5.575437e+01 | 6.325817e-03
19 14 | 49.795267 | 49.810610 | 49.804182 | -2.117873e+02 | 6.428119e-03
20 15 | 49.795267 | 49.804182 | 49.797651 | 1.207231e+02 | 6.531025e-03
21 16 | 49.797651 | 49.804182 | 49.800022 | 2.770809e+02 | 2.371190e-03
22 17 | 49.800022 | 49.804182 | 49.802380 | -9.157873e+02 | 2.357713e-03
23 18 | 49.800022 | 49.802380 | 49.800570 | 3.965307e+02 | 1.810060e-03
24 19 | 49.800570 | 49.802380 | 49.801117 | 6.977122e+02 | 5.469288e-04
25 20 | 49.801117 | 49.802380 | 49.801663 | 2.913764e+03 | 5.462055e-04
26 21 | 49.801663 | 49.802380 | 49.802209 | -1.336358e+03 | 5.454825e-04
27 22 | 49.801663 | 49.802209 | 49.802037 | -2.470404e+03 | 1.715150e-04
28 23 | 49.801663 | 49.802037 | 49.801866 | -1.628008e+04 | 1.715865e-04
29 24 | 49.801663 | 49.801866 | 49.801694 | 3.548622e+03 | 1.716581e-04
30 25 | 49.801694 | 49.801866 | 49.801725 | 4.537292e+03 | 3.072059e-05
31 26 | 49.801725 | 49.801866 | 49.801755 | 6.289804e+03 | 3.071830e-05
32 27 | 49.801755 | 49.801866 | 49.801786 | 1.024857e+04 | 3.071601e-05
33 28 | 49.801786 | 49.801866 | 49.801817 | 2.765708e+04 | 3.071372e-05
34 29 | 49.801817 | 49.801866 | 49.801847 | -3.958054e+04 | 3.071143e-05
35 30 | 49.801817 | 49.801847 | 49.801829 | 9.179976e+04 | 1.807879e-05
36 31 | 49.801829 | 49.801847 | 49.801842 | -6.958296e+04 | 1.263225e-05
37 32 | 49.801829 | 49.801842 | 49.801837 | -2.875324e+05 | 5.446614e-06
38 33 | 49.801829 | 49.801837 | 49.801831 | 1.348536e+05 | 5.446686e-06
39 34 | 49.801831 | 49.801837 | 49.801833 | 2.539609e+05 | 1.738943e-06
40 35 | 49.801833 | 49.801837 | 49.801835 | 2.175042e+06 | 1.738936e-06
41 36 | 49.801835 | 49.801837 | 49.801836 | -3.313336e+05 | 1.738928e-06
42 37 | 49.801835 | 49.801836 | 49.801836 | -3.908780e+05 | 2.298799e-07
43
44  -----
45  --- Resumo Final ---
46  Raiz encontrada: 49.80183613
47  Erro final estimado: 2.30e-07
48  Numero de iteracoes: 37
49  Tempo de execucao: 0.000390 segundos
```

Figura 14 – Saída do Método da Posição Falsa para o Problema 2.

Newton-Raphson

Saída:

```
1  --- Relatorio do Metodo de Newton-Raphson ---
2  Funcao: f(x) = 0.8391 - (sin(x)*cos(x)) / (0.8 - cos(x)**2)
3  Chute inicial: x0 = 26.000000
4
5  Iter |          x_i |          f(x_i) |          f'(x_i) |          Erro |x_i-x_{i-1}|
6  -----
7  1 |      26.0000000 | -4.540055e-01 |  3.771486e+00 |  1.203784e-01
8  2 |      26.1203784 | -8.618618e-02 |  2.504505e+00 |  3.441246e-02
9  3 |      26.1547908 | -3.903782e-03 |  2.284763e+00 |  1.708616e-03
10  4 |      26.1564995 | -8.422186e-06 |  2.274920e+00 |  3.702190e-06
11  5 |      26.1565032 | -3.929190e-11 |  2.274898e+00 |  1.727329e-11
12
13  -----
14  --- Resumo Final ---
15  Raiz encontrada:      26.15650321
16  Erro final estimado: 1.73e-11
17  Numero de iteracoes: 5
18  Tempo de execucao:   0.000420 segundos
```

Figura 15 – Saída do Método de Newton-Raphson para o Problema 2.

Secante

Saída:

```
1  --- Relatorio do Metodo da Secante ---
2  Funcao: f(x) = 0.8391 - (sin(x)*cos(x)) / (0.8 - cos(x)**2)
3  Pontos iniciais: x0 = 2.0, x1 = 50.0
4
5  Iter |          x_{i+1} |          f(x_{i+1}) |          Erro |x_{i+1} - x_i|
6  -----
7  1 |      29.3294531 |  6.866979e-02 |  2.067055e+01
8  2 |      30.5532012 |  2.149464e+00 |  1.223748e+00
9  3 |      29.2890673 | -2.077660e-02 |  1.264134e+00
10  4 |      29.3011694 |  6.965076e-03 |  1.210207e-02
11  5 |      29.2981309 |  7.982450e-05 |  3.038455e-03
12  6 |      29.2980957 | -3.086397e-07 |  3.522648e-05
13  7 |      29.2980958 |  1.364575e-11 |  1.356778e-07
14
15  -----
16  --- Resumo Final ---
17  Raiz encontrada:      29.29809586
18  Erro final estimado: 1.36e-07
19  Numero de iteracoes: 7
20  Tempo de execucao:   0.000147 segundos
```

Figura 16 – Saída do Método da Secante para o Problema 2.

Análise dos Resultados Divergentes

Ao aplicar os métodos numéricos para encontrar a raiz da função $f(x) = 0.8391 - (\sin(x) \cdot \cos(x)) / (0.8 - \cos(x)^2)$, foram obtidos resultados distintos para cada algoritmo (aproximadamente 1.02, 49.80, 26.15 e 29.29). Essa divergência não indica uma falha nos métodos, mas sim uma consequência direta da natureza complexa da função e da estratégia de busca de cada algoritmo.

As principais razões para os diferentes resultados são:

1. **Múltiplas Raízes:** A função é periódica devido aos termos $\sin(x)$ e $\cos(x)$, o que significa que ela cruza o eixo x em múltiplos pontos. Portanto, existem várias raízes corretas, e cada método convergiu para uma delas.
2. **Sensibilidade às Condições Iniciais:** A escolha do intervalo ou do ponto inicial foi o fator determinante para a raiz encontrada:
 - **Bisseção:** Ao ser executado em um intervalo menor e bem definido (provavelmente $[1, 2]$), o método isolou e convergiu para a primeira raiz positiva (~ 1.02).
 - **Posição Falsa e Secante:** Utilizando um intervalo muito amplo como $[2, 50]$, a reta secante inicial traçada entre os extremos apontou para regiões distantes do gráfico, fazendo com que os métodos "saltassem" para outras raízes válidas dentro desse vasto domínio.
 - **Newton-Raphson:** O método foi iniciado com um chute em $x_0 = 26$ (o ponto médio do intervalo $[2, 50]$). Por sua natureza de rápida convergência local, ele encontrou a raiz mais próxima a esse ponto de partida (~ 26.15).
3. **Comportamento Complexo da Função:** A função também possui descontinuidades (assíntotas verticais) onde o denominador se anula. Esse comportamento errático, combinado com a periodicidade, faz com que a direção da busca de cada método seja altamente imprevisível em intervalos grandes.

Em suma, os métodos funcionaram corretamente, mas o comportamento oscilatório e as múltiplas soluções da função, aliados à sensibilidade dos algoritmos às condições iniciais, levaram cada um a convergir para uma raiz diferente e válida.

Problema 3 (Exercício 3.8)

Uma loja de eletrodomésticos oferece dois planos de financiamento para um produto cujo preço à vista é de R\$ 162,00:

- Plano A: entrada de R\$ 22,00 + 9 prestações iguais de R\$ 26,50
- Plano B: entrada de R\$ 22,00 + 12 prestações iguais de R\$ 21,50

Qual dos dois planos apresenta a menor taxa de juros, sendo portanto melhor para o consumidor? Sabe-se que a equação que relaciona os juros mensais (J) com o prazo (P), o valor financiado (VF) e a prestação mensal (PM) é dada por:

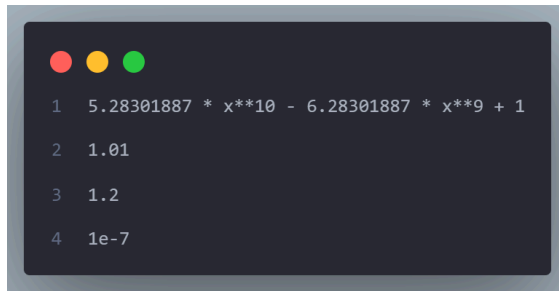
$$(1 - (1 + J)^{-P}) / J = VF / PM$$

a) Fazendo as substituições $x = 1 + J$ e $k = VF / PM$, verifique que a equação acima pode ser reescrita da seguinte forma:

$$f(x) = k \cdot x^{(P+1)} - (k + 1) \cdot x^P + 1 = 0$$

b) Escreva a equação do item (a) para cada um dos planos e encontre um intervalo que contenha a raiz positiva $x \neq 1$.

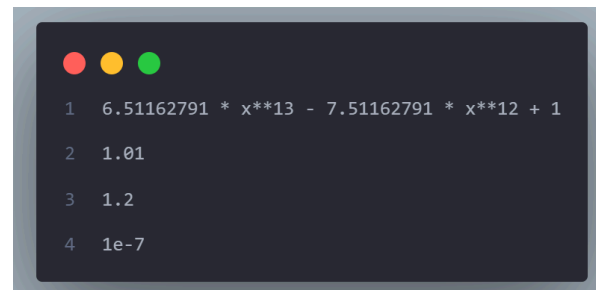
Entrada Plano A:



```
1 5.28301887 * x**10 - 6.28301887 * x**9 + 1
2 1.01
3 1.2
4 1e-7
```

Figura 17 – Entrada Plano A para o Problema 3 (Exercício 3.8).

Entrada Plano B:



```
1 6.51162791 * x**13 - 7.51162791 * x**12 + 1
2 1.01
3 1.2
4 1e-7
```

Figura 18 – Entrada Plano B para o Problema 3 (Exercício 3.8)

Bisseção

Saída Plano A:

```
1 --- Relatório do Metodo da Bissecão ---
2 Funcao: f(x) = 5.28301887 * x**10 - 6.28301887 * x**9 + 1
3
4 Iter | a | b | c (raiz) | f(c) | Erro |b-a|
5 -----
6 1 | 1.010000 | 1.200000 | 1.105000 | -9.369603e-02 | 1.900000e-01
7 2 | 1.105000 | 1.200000 | 1.152500 | 3.028443e-01 | 9.500000e-02
8 3 | 1.105000 | 1.152500 | 1.128750 | 4.879592e-02 | 4.750000e-02
9 4 | 1.105000 | 1.128750 | 1.116875 | -3.448958e-02 | 2.375000e-02
10 5 | 1.116875 | 1.128750 | 1.122812 | 3.920526e-03 | 1.187500e-02
11 6 | 1.116875 | 1.122812 | 1.119844 | -1.606393e-02 | 5.937500e-03
12 7 | 1.119844 | 1.122812 | 1.121328 | -6.270087e-03 | 2.968750e-03
13 8 | 1.121328 | 1.122812 | 1.122070 | -1.224824e-03 | 1.484375e-03
14 9 | 1.122070 | 1.122812 | 1.122441 | 1.335284e-03 | 7.421875e-04
15 10 | 1.122070 | 1.122441 | 1.122256 | 5.209504e-05 | 3.710937e-04
16 11 | 1.122070 | 1.122256 | 1.122163 | -5.871474e-04 | 1.855469e-04
17 12 | 1.122163 | 1.122256 | 1.122209 | -2.677220e-04 | 9.277344e-05
18 13 | 1.122209 | 1.122256 | 1.122233 | -1.078624e-04 | 4.638672e-05
19 14 | 1.122233 | 1.122256 | 1.122244 | -2.789594e-05 | 2.319336e-05
20 15 | 1.122244 | 1.122256 | 1.122250 | 1.209649e-05 | 1.159668e-05
21 16 | 1.122244 | 1.122250 | 1.122247 | -7.900492e-06 | 5.798340e-06
22 17 | 1.122247 | 1.122250 | 1.122249 | 2.097806e-06 | 2.899170e-06
23 18 | 1.122247 | 1.122249 | 1.122248 | -2.901391e-06 | 1.449585e-06
24 19 | 1.122248 | 1.122249 | 1.122248 | -4.018041e-07 | 7.247925e-07
25 20 | 1.122248 | 1.122249 | 1.122248 | 8.479982e-07 | 3.623962e-07
26 21 | 1.122248 | 1.122248 | 1.122248 | 2.230963e-07 | 1.811981e-07
27
28 -----
29 --- Resumo Final ---
30 Raiz encontrada: 1.12224834
31 Erro final estimado: 9.06e-08
32 Numero de iteracoes: 21
33 Tempo de execucao: 0.000027 segundos
```

Figura 19 – Saída do Método da Bisseção para o Plano A.

Saída Plano B:

```
1 --- Relatório do Metodo da Bissecão ---
2 Funcao: f(x) = 6.51162791 * x**13 - 7.51162791 * x**12 + 1
3
4 Iter | a | b | c (raiz) | f(c) | Erro |b-a|
5 -----
6 1 | 1.010000 | 1.200000 | 1.105000 | -4.813636e-02 | 1.900000e-01
7 2 | 1.105000 | 1.200000 | 1.152500 | 9.616872e-01 | 9.500000e-02
8 3 | 1.105000 | 1.152500 | 1.128750 | 3.086635e-01 | 4.750000e-02
9 4 | 1.105000 | 1.128750 | 1.116875 | 9.973946e-02 | 2.375000e-02
10 5 | 1.105000 | 1.116875 | 1.110937 | 1.888379e-02 | 1.187500e-02
11 6 | 1.105000 | 1.110937 | 1.107969 | -1.627224e-02 | 5.937500e-03
12 7 | 1.107969 | 1.110937 | 1.109453 | 8.840935e-04 | 2.968750e-03
13 8 | 1.107969 | 1.109453 | 1.108711 | -7.798207e-03 | 1.484375e-03
14 9 | 1.108711 | 1.109453 | 1.109082 | -3.483250e-03 | 7.421875e-04
15 10 | 1.109082 | 1.109453 | 1.109268 | -1.306147e-03 | 3.710938e-04
16 11 | 1.109268 | 1.109453 | 1.109360 | -2.126711e-04 | 1.855469e-04
17 12 | 1.109360 | 1.109453 | 1.109407 | 3.352997e-04 | 9.277344e-05
18 13 | 1.109360 | 1.109407 | 1.109384 | 6.121145e-05 | 4.638672e-05
19 14 | 1.109360 | 1.109384 | 1.109372 | -7.575554e-05 | 2.319336e-05
20 15 | 1.109372 | 1.109384 | 1.109378 | -7.278471e-06 | 1.159668e-05
21 16 | 1.109378 | 1.109384 | 1.109381 | 2.696488e-05 | 5.798340e-06
22 17 | 1.109378 | 1.109381 | 1.109379 | 9.842805e-06 | 2.899170e-06
23 18 | 1.109378 | 1.109379 | 1.109378 | 1.282066e-06 | 1.449585e-06
24 19 | 1.109378 | 1.109378 | 1.109378 | -2.998227e-06 | 7.247925e-07
25 20 | 1.109378 | 1.109378 | 1.109378 | -8.580868e-07 | 3.623962e-07
26 21 | 1.109378 | 1.109378 | 1.109378 | 2.119882e-07 | 1.811981e-07
27
28 -----
29 --- Resumo Final ---
30 Raiz encontrada: 1.10937838
31 Erro final estimado: 9.06e-08
32 Numero de iteracoes: 21
33 Tempo de execucao: 0.000051 segundos
```

Figura 20 – Saída do Método da Bisseção para o Plano B

Posição Falsa

Saída Plano A:

```

1  --- Relatorio do Metodo da Posicao Falsa ---      You, yesterday * adicionando novas entr
2  Funcao: f(x) = 5.28301887 * x**10 - 6.28301887 * x**9 + 1
3
4  Iter |          a |          b |      c (raiz) |          f(c) |      Erro |c-c_old|
5  -----
6  1 | 1.010000 | 1.200000 | 1.015137 | -5.323349e-02 |          inf
7  2 | 1.015137 | 1.200000 | 1.022452 | -7.634788e-02 | 7.315034e-03
8  3 | 1.022452 | 1.200000 | 1.032358 | -1.042184e-01 | 9.905938e-03
9  4 | 1.032358 | 1.200000 | 1.044871 | -1.325507e-01 | 1.251277e-02
10 5 | 1.044871 | 1.200000 | 1.059305 | -1.533209e-01 | 1.443371e-02
11 6 | 1.059305 | 1.200000 | 1.074229 | -1.578864e-01 | 1.492443e-02
12 7 | 1.074229 | 1.200000 | 1.087924 | -1.432543e-01 | 1.369532e-02
13 8 | 1.087924 | 1.200000 | 1.099110 | -1.151718e-01 | 1.118589e-02
14 9 | 1.099110 | 1.200000 | 1.107367 | -8.364935e-02 | 8.257076e-03
15 10 | 1.107367 | 1.200000 | 1.113000 | -5.628751e-02 | 5.632468e-03
16 11 | 1.113000 | 1.200000 | 1.116632 | -3.593207e-02 | 3.631860e-03
17 12 | 1.116632 | 1.200000 | 1.118887 | -2.216668e-02 | 2.255727e-03
18 13 | 1.118887 | 1.200000 | 1.120256 | -1.338621e-02 | 1.368098e-03
19 14 | 1.120256 | 1.200000 | 1.121073 | -7.979671e-03 | 8.177080e-04
20 15 | 1.121073 | 1.200000 | 1.121558 | -4.720006e-03 | 4.844528e-04
21 16 | 1.121558 | 1.200000 | 1.121843 | -2.779087e-03 | 2.855127e-04
22 17 | 1.121843 | 1.200000 | 1.122011 | -1.631863e-03 | 1.677459e-04
23 18 | 1.122011 | 1.200000 | 1.122109 | -9.566941e-04 | 9.837515e-05
24 19 | 1.122109 | 1.200000 | 1.122167 | -5.603460e-04 | 5.763062e-05
25 20 | 1.122167 | 1.200000 | 1.122201 | -3.280210e-04 | 3.374024e-05
26 21 | 1.122201 | 1.200000 | 1.122220 | -1.919586e-04 | 1.974619e-05
27 22 | 1.122220 | 1.200000 | 1.122232 | -1.123135e-04 | 1.155380e-05
28 23 | 1.122232 | 1.200000 | 1.122239 | -6.570658e-05 | 6.759451e-06
29 24 | 1.122239 | 1.200000 | 1.122243 | -3.843773e-05 | 3.954268e-06
30 25 | 1.122243 | 1.200000 | 1.122245 | -2.248486e-05 | 2.313141e-06
31 26 | 1.122245 | 1.200000 | 1.122246 | -1.315265e-05 | 1.353091e-06
32 27 | 1.122246 | 1.200000 | 1.122247 | -7.693619e-06 | 7.914904e-07
33 28 | 1.122247 | 1.200000 | 1.122248 | -4.500335e-06 | 4.629781e-07
34 29 | 1.122248 | 1.200000 | 1.122248 | -2.632431e-06 | 2.708152e-07
35 30 | 1.122248 | 1.200000 | 1.122248 | -1.539814e-06 | 1.584107e-07
36 31 | 1.122248 | 1.200000 | 1.122248 | -9.006968e-07 | 9.266058e-08
37
38  -----
39  --- Resumo Final ---
40 Raiz encontrada:      1.12224818
41 Erro final estimado: 9.27e-08
42 Numero de iteracoes: 31
43 Tempo de execucao:   0.000041 segundos

```

Figura 19 – Saída do Método da Posição Falsa para o Plano A.

Saída Plano B:

```

1  --- Relatório do Metodo da Posicao Falsa ---
2  Funcao: f(x) = 6.51162791 * x**13 - 7.51162791 * x**12 + 1
3
4  Iter |          a |          b |      c (raiz) |          f(c) |      Erro |c-c_old|
5  -----
6  1 | 1.010000 | 1.200000 | 1.012709 | -6.733439e-02 |          inf
7  2 | 1.012709 | 1.200000 | 1.016060 | -8.407973e-02 | 3.351440e-03
8  3 | 1.016060 | 1.200000 | 1.020152 | -1.037926e-01 | 4.091813e-03
9  4 | 1.020152 | 1.200000 | 1.025065 | -1.262422e-01 | 4.913169e-03
10 5 | 1.025065 | 1.200000 | 1.030844 | -1.506578e-01 | 5.778453e-03
11 6 | 1.030844 | 1.200000 | 1.037470 | -1.755287e-01 | 6.625905e-03
12 7 | 1.037470 | 1.200000 | 1.044839 | -1.985095e-01 | 7.369686e-03
13 8 | 1.044839 | 1.200000 | 1.052749 | -2.165915e-01 | 7.909676e-03
14 9 | 1.052749 | 1.200000 | 1.060901 | -2.266739e-01 | 8.152362e-03
15 10 | 1.060901 | 1.200000 | 1.068940 | -2.264819e-01 | 8.038784e-03
16 11 | 1.068940 | 1.200000 | 1.076508 | -2.154715e-01 | 7.568162e-03
17 12 | 1.076508 | 1.200000 | 1.083312 | -1.951902e-01 | 6.803552e-03
18 13 | 1.083312 | 1.200000 | 1.089166 | -1.688029e-01 | 5.853974e-03
19 14 | 1.089166 | 1.200000 | 1.094007 | -1.400320e-01 | 4.841445e-03
20 15 | 1.094007 | 1.200000 | 1.097877 | -1.121050e-01 | 3.869638e-03
21 16 | 1.097877 | 1.200000 | 1.100884 | -8.716793e-02 | 3.006697e-03
22 17 | 1.100884 | 1.200000 | 1.103168 | -6.623024e-02 | 2.284002e-03
23 18 | 1.103168 | 1.200000 | 1.104872 | -4.943404e-02 | 1.704833e-03
24 19 | 1.104872 | 1.200000 | 1.106128 | -3.640538e-02 | 1.255685e-03
25 20 | 1.106128 | 1.200000 | 1.107044 | -2.654471e-02 | 9.157201e-04
26 21 | 1.107044 | 1.200000 | 1.107707 | -1.921399e-02 | 6.629288e-04
27 22 | 1.107707 | 1.200000 | 1.108184 | -1.383411e-02 | 4.773691e-04
28 23 | 1.108184 | 1.200000 | 1.108527 | -9.922461e-03 | 3.424248e-04
29 24 | 1.108527 | 1.200000 | 1.108772 | -7.097261e-03 | 2.449452e-04
30 25 | 1.108772 | 1.200000 | 1.108946 | -5.066461e-03 | 1.748667e-04
31 26 | 1.108946 | 1.200000 | 1.109071 | -3.611652e-03 | 1.246597e-04
32 27 | 1.109071 | 1.200000 | 1.109160 | -2.571994e-03 | 8.877750e-05
33 28 | 1.109160 | 1.200000 | 1.109223 | -1.830301e-03 | 6.317784e-05
34 29 | 1.109223 | 1.200000 | 1.109268 | -1.301827e-03 | 4.493682e-05
35 30 | 1.109268 | 1.200000 | 1.109300 | -9.256063e-04 | 3.195068e-05
36 31 | 1.109300 | 1.200000 | 1.109323 | -6.579413e-04 | 2.271143e-05
37 32 | 1.109323 | 1.200000 | 1.109339 | -4.675933e-04 | 1.614091e-05
38
39  -----
40  --- Resumo Final ---
41  Raiz encontrada:      1.10937813
42  Erro final estimado: 9.57e-08
43  Numero de iteracoes: 32      You, 1 second ago • Uncommitted changes
44  Tempo de execucao:    0.000051 segundos

```

Figura 20 – Saída do Método da Posição Falsa para o Plano B.

Newton-Raphson

Saída Plano A:

```
1 --- Relatório do Metodo de Newton-Raphson --- You, yesterday * adicionando nova
2 Funcao: f(x) = 5.28301887 * x**10 - 6.28301887 * x**9 + 1
3 Chute inicial: x0 = 1.105000
4
5 Iter |          x_i |          f(x_i) |          f'(x_i) |          Erro |x_i-x_i-1|
6 -----
7 1 | 1.10500000 | -9.369603e-02 | 4.068123e+00 | 2.303176e-02
8 2 | 1.12803176 | 4.300814e-02 | 7.987990e+00 | 5.384100e-03
9 3 | 1.12264766 | 2.769036e-03 | 6.970323e+00 | 3.972608e-04
10 4 | 1.12225040 | 1.441478e-05 | 6.897810e+00 | 2.089763e-06
11 5 | 1.12224831 | 3.976091e-10 | 6.897429e+00 | 5.764589e-11
12
13 -----
14 --- Resumo Final ---
15 Raiz encontrada: 1.12224831
16 Erro final estimado: 5.76e-11
17 Numero de iteracoes: 5
18 Tempo de execucao: 0.000012 segundos
```

Figura 21 – Saída do Método de Newton-Raphson para o Plano A.

Saída Plano B:

```
1 --- Relatório do Metodo de Newton-Raphson --- You, yesterday * adicionando nova
2 Funcao: f(x) = 6.51162791 * x**13 - 7.51162791 * x**12 + 1
3 Chute inicial: x0 = 1.105000
4
5 Iter |          x_i |          f(x_i) |          f'(x_i) |          Erro |x_i-x_i-1|
6 -----
7 1 | 1.10500000 | -4.813636e-02 | 1.019680e+01 | 4.720732e-03
8 2 | 1.10972073 | 4.066203e-03 | 1.194236e+01 | 3.404856e-04
9 3 | 1.10938025 | 2.224248e-05 | 1.181184e+01 | 1.883067e-06
10 4 | 1.10937836 | 6.777761e-10 | 1.181112e+01 | 5.738454e-11
11
12 -----
13 --- Resumo Final ---
14 Raiz encontrada: 1.10937836
15 Erro final estimado: 5.74e-11
16 Numero de iteracoes: 4
17 Tempo de execucao: 0.000008 segundos
```

Figura 22 – Saída do Método de Newton-Raphson para o Plano B.

Secante

Saída Plano A:

```
1  --- Relatorio do Metodo da Secante ---      You, yesterday * adicion
2  Funcao: f(x) = 5.28301887 * x**10 - 6.28301887 * x**9 + 1
3  Pontos iniciais: x0 = 1.01, x1 = 1.2
4
5  Iter |          x_i+1 |          f(x_i+1) |          Erro |x_i+1 - x_i|
6  -----
7  1 |      1.01513723 | -5.323349e-02 |      1.848628e-01
8  2 |      1.02245226 | -7.634788e-02 |      7.315034e-03
9  3 |      0.99829037 |  6.387877e-03 |      2.416189e-02
10 4 |      1.00015587 | -5.790761e-04 |      1.865495e-03
11 5 |      1.00000081 | -3.018950e-06 |      1.550554e-04
12 6 |      1.00000000 |  1.464655e-09 |      8.126008e-07
13 7 |      1.00000000 | -3.552714e-15 |      3.940452e-10
14
15 -----
16 --- Resumo Final ---
17 Raiz encontrada:      1.00000000
18 Erro final estimado: 3.94e-10
19 Numero de iteracoes: 7
20 Tempo de execucao:   0.000016 segundos
```

Figura 23 – Saída do Método de Secante para o Plano A.

Saída Plano B:

```
1  --- Relatorio do Metodo da Secante ---      You, yesterday * adicion
2  Funcao: f(x) = 6.51162791 * x**13 - 7.51162791 * x**12 + 1
3  Pontos iniciais: x0 = 1.01, x1 = 1.2
4
5  Iter |          x_i+1 |          f(x_i+1) |          Erro |x_i+1 - x_i|
6  -----
7  1 |      1.01270886 | -6.733439e-02 |      1.872911e-01
8  2 |      1.01606030 | -8.407973e-02 |      3.351440e-03
9  3 |      0.99923245 |  4.219671e-03 |      1.682786e-02
10 4 |      1.00003662 | -2.009723e-04 |      8.041734e-04
11 5 |      1.00000006 | -3.363912e-07 |      3.655952e-05
12 6 |      1.00000000 |  2.726797e-11 |      6.129659e-08
13
14 -----
15 --- Resumo Final ---
16 Raiz encontrada:      1.00000000
17 Erro final estimado: 6.13e-08
18 Numero de iteracoes: 6
19 Tempo de execucao:   0.000022 segundos
```

Figura 24 – Saída do Método de Secante para o Plano B

Método da Eliminação de Gauss

Estratégia de Implementação:

A estratégia adotada no método da Eliminação de Gauss para resolver sistemas lineares do tipo $\mathbf{Ax}=\mathbf{b}$ se divide em duas etapas principais: a fase de triangularização e a substituição regressiva. Uma decisão crucial na implementação para garantir maior estabilidade numérica foi a incorporação do pivoteamento parcial. Antes de cada etapa de eliminação, um laço percorre a coluna atual para encontrar o elemento de maior valor absoluto usando `np.argmax`, e a linha correspondente é trocada com a linha do pivô. Essa abordagem minimiza erros de arredondamento e evita falhas na divisão por zero. Após o pivoteamento, uma verificação explícita `if A[i, i] == 0` garante que, se ainda assim o pivô for nulo, o método identifique a matriz como singular e encerre a execução.

Uma vez que a matriz está em formato triangular superior, inicia-se a fase de substituição regressiva. Esta etapa foi implementada de forma eficiente utilizando a função `np.dot` do **NumPy** para calcular os somatórios, resolvendo o sistema de "trás para frente" a partir da última variável. Para refinar a solução, valores computados muito próximos de zero (menores que $1e-12$) são explicitamente convertidos para 0.0, melhorando a clareza do resultado final.

Estrutura dos Arquivos de Entrada/Saída

A estrutura de arquivos foi mantida consistente para garantir uma experiência de uso uniforme em todo o código.

- **Arquivo de Entrada (ex: `entrada_sistemas.txt`)** O método utiliza um sistema de leitura flexível, localizado no diretório `input/`, que aceita múltiplos formatos para definir a Matriz A e o Vetor b:
 - **Formato de Dimensão:** A primeira linha contém a ordem n do sistema, seguida por n linhas da matriz aumentada.
 - **Formato de Listas:** Um arquivo de duas linhas contendo a Matriz A (ex: `[[...]]` ou `[...],[...]`) na primeira e o Vetor b (ex: `[...]`) na segunda.
- **Arquivo de Saída (`gauss_saida.txt`)** O relatório gerado no diretório `output/` foi projetado para ser claro e direto:
 - O cabeçalho informa o método executado.

- O corpo do relatório exibe a Matriz A e o Vetor b originais para referência da entrada.
- Ao final, são apresentados a Solução (x) encontrada, formatada para fácil leitura, e o Tempo de execução.

Dificuldades enfrentadas

Um dos principais desafios na implementação foi o tratamento de pivôs nulos ou próximos de zero. Sem uma estratégia de pivoteamento, o algoritmo poderia falhar ou gerar grande instabilidade numérica devido a divisões por valores muito pequenos.

Método de Fatoração LU

Estratégia de Implementação:

A estratégia adotada na Fatoração LU para resolver sistemas lineares consiste em decompor a matriz de coeficientes A em um produto de duas matrizes: uma triangular inferior (L) e uma triangular superior (U). O processo inicia com uma verificação de singularidade, utilizando `np.linalg.det(A) == 0`, para encerrar o método caso a decomposição não seja possível. Em seguida, a matriz L é inicializada como uma matriz identidade com `np.eye(n)` e a matriz U como uma cópia de A . O processo de decomposição ocorre em um laço aninhado que calcula os multiplicadores e os armazena em L , enquanto atualiza U para sua forma triangular superior.

Após a decomposição, o sistema original $Ax=b$ é transformado em $LUx=b$. Este sistema é então resolvido em duas etapas mais simples: primeiro, resolve-se $Ly=b$ por meio de substituição progressiva para encontrar o vetor auxiliar y ; em seguida, resolve-se $Ux=y$ através de substituição regressiva para encontrar a solução final x . Ambas as etapas de substituição foram implementadas de forma otimizada usando `np.dot`, aproveitando a eficiência do **NumPy** para operações vetoriais.

Estrutura dos Arquivos de Entrada/Saída

A estrutura de arquivos foi mantida consistente para garantir uma experiência de uso uniforme em todo o código.

- **Arquivo de Entrada (ex: `entrada_sistemas.txt`)** O método utiliza o mesmo sistema de leitura flexível dos outros métodos de sistemas lineares, localizado no diretório **input/**, que aceita os formatos de "dimensão + matriz aumentada" e os baseados em "listas Python".
- **Arquivo de Saída (`lu_saida.txt`)** O relatório gerado no diretório **output/** foi enriquecido para fornecer uma visão completa do processo:
 - O cabeçalho informa o método e exibe a Matriz A e o Vetor b originais.
 - Como um diferencial, as matrizes Matriz L e Matriz U resultantes da decomposição são apresentadas, permitindo a verificação da corretude da fatoração.
 - O arquivo é concluído com a Solução (x) final e o Tempo de execução total.

Dificuldades enfrentadas

O principal desafio na implementação da Fatoração LU (especificamente, a decomposição de Doolittle) foi garantir o preenchimento correto e simultâneo das matrizes L e U dentro do laço de repetição. A lógica para calcular cada fator da matriz L e, com base nele, atualizar a linha correspondente da matriz U exigiu um controle rigoroso dos índices. Outra dificuldade foi a implementação correta das duas fases de resolução: a substituição progressiva para encontrar y e a regressiva para encontrar x . Coordenar a passagem do vetor auxiliar y entre essas duas etapas foi fundamental para que o resultado final fosse correto.

Método de Jacobi

Estratégia de Implementação:

O método de Jacobi foi implementado como uma abordagem iterativa para a solução de sistemas lineares. A estratégia central consiste em calcular uma nova aproximação para cada variável do vetor solução x utilizando apenas os valores da iteração anterior. Uma decisão de implementação fundamental foi a inclusão da função auxiliar **`_make_diagonally_dominant`**, que é chamada no início do método. Essa função tenta reorganizar as linhas da matriz A e do vetor b para que a matriz se torne diagonalmente dominante, uma condição que garante a convergência do método.

O processo iterativo continua até que um de dois critérios de parada seja atingido: ou a norma Euclidiana da diferença entre os vetores de solução de duas iterações consecutivas (**`np.linalg.norm(x_new - x)`**) se torna menor que uma tolerância definida, ou um número máximo de iterações é alcançado, o que evita laços infinitos caso o método não convirja. Para fins de análise, a implementação armazena o histórico de cada iteração (vetor x e erro) em uma lista chamada `passos`, que é posteriormente utilizada pelo módulo de relatórios.

Estrutura dos Arquivos de Entrada/Saída

A estrutura de arquivos foi mantida consistente para garantir uma experiência de uso uniforme em todo o código.

- **Arquivo de Entrada (ex: `entrada_sistemas.txt`)** O método utiliza o mesmo sistema de leitura flexível dos outros métodos de sistemas lineares, localizado no diretório **`input/`**, que aceita os formatos de "dimensão + matriz aumentada" e os baseados em "listas Python".
- **Arquivo de Saída (`jacobi_saida.txt`)** O relatório gerado no diretório **`output/`** foi adaptado para refletir a natureza iterativa do método de Jacobi:
 - O cabeçalho informa o método e exibe as matrizes de entrada.
 - Uma tabela de progresso detalhada exibe a evolução do cálculo, com as colunas: **Iter** (iteração), **Vetor x** (a aproximação atual) e **Erro** (a norma da diferença para a iteração anterior).
 - O arquivo é concluído com um bloco de resumo final, que informa a Solução encontrada, o Erro final estimado, o Número de iterações e o Tempo de execução.

Dificuldades enfrentadas

A principal dificuldade foi lidar com a convergência do método, que não é garantida para todos os sistemas. A implementação da função **`_make_diagonally_dominant`** foi uma resposta direta a esse desafio, na tentativa de pré-condicionar o sistema para o sucesso do algoritmo. Outro desafio de implementação foi garantir que o vetor da iteração anterior (x) fosse corretamente preservado para o cálculo de todas as componentes do novo vetor (**`x_new`**), sem utilizar valores recém-calculados dentro da mesma iteração, que é a característica que define o método de Jacobi.

Método de Gauss-Seidel

Estratégia de Implementação:

O método de Gauss-Seidel foi implementado como um aprimoramento do método de Jacobi. A estratégia iterativa é semelhante, mas com a diferença crucial de que o método utiliza os valores das variáveis recém-calculados dentro da mesma iteração. Para implementar essa lógica, o algoritmo mantém uma cópia do vetor da iteração anterior (x_{old}), enquanto o vetor principal x é atualizado "no lugar" (in-place). O cálculo do somatório para cada variável $x[i]$ foi dividido em duas partes usando `np.dot`: uma que utiliza as componentes já atualizadas de x (índices $< i$) e outra que utiliza as componentes de x_{old} (índices $> i$). Assim como em Jacobi, a implementação inicia com uma chamada à função `_make_diagonally_dominant` para melhorar as condições de convergência. O critério de parada também se baseia na norma Euclidiana da diferença entre os vetores x e x_{old} (`np.linalg.norm(x - x_old)`), comparada a uma tolerância, ou no atingimento do número máximo de iterações.

Estrutura dos Arquivos de Entrada/Saída

A estrutura de arquivos foi mantida consistente para garantir uma experiência de uso uniforme em todo o código.

- **Arquivo de Entrada (ex: `entrada_sistemas.txt`)** O método utiliza o mesmo sistema de leitura flexível dos outros métodos de sistemas lineares, localizado no diretório `input/`, que aceita os formatos de "dimensão + matriz aumentada" e os baseados em "listas Python".
- **Arquivo de Saída (`gauss-seidel_saida.txt`)** O relatório gerado no diretório `output/` segue o mesmo formato detalhado do método de Jacobi para permitir uma comparação direta:
 - O cabeçalho informa o método e exibe as matrizes de entrada.
 - A tabela de progresso contém as colunas: **Iter** (iteração), **Vetor x** (a aproximação atual) e **Erro** (a norma da diferença para a iteração anterior).
 - O arquivo é concluído com o bloco de resumo final, informando a Solução encontrada, o Erro final estimado, o Número de iterações e o Tempo de execução.

Dificuldades enfrentadas

A maior dificuldade na implementação de Gauss-Seidel foi a correta manipulação dos vetores para garantir que os valores recém-calculados de x

fossem usados imediatamente no cálculo das componentes seguintes na mesma iteração. Diferente de Jacobi, onde se pode calcular todo o novo vetor x_{new} de uma vez, aqui o vetor x é atualizado "no lugar" (in-place). Isso exigiu uma implementação cuidadosa do cálculo do somatório, dividindo-o em dois produtos escalares distintos que usam partes do vetor x atualizado e partes do x_{old} .

Problemas Estabelecidos

Problema 1 (Exercício 4.1)

Considere o circuito a seguir com resistências e baterias tal como indicado; escolhemos arbitrariamente as correntes e os valores da malha:

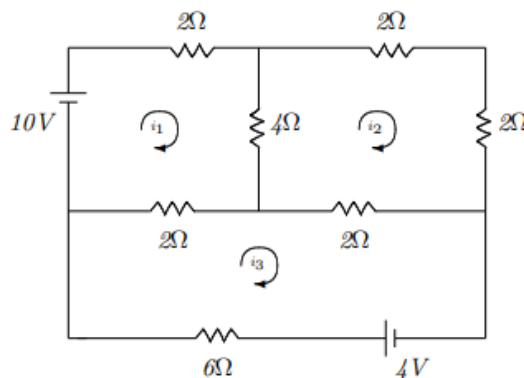


Figura 25 – Circuito Elétrico do Problema 1 (Exercício 4.1).

Aplicando a Lei de Kirchhoff que diz que a soma algébrica da diferenças de potencial em qualquer circuito fechado é zero, obtemos para as correntes i_1 , i_2 , i_3 , o seguinte sistema linear:

$$\begin{cases} 2 i_1 + 4 (i_1 - i_2) + 2 (i_1 - i_3) - 10 = 0 \\ 2 i_2 - 2 i_2 + 2 (i_2 - i_3) + 4 (i_2 - i_1) = 0 \\ 6 i_3 + 2 (i_3 - i_1) + 2 (i_3 - i_2) - 4 = 0 \end{cases}$$

Figura 26 – Sistema de Equações Lineares do Problema 1.

Entrada:

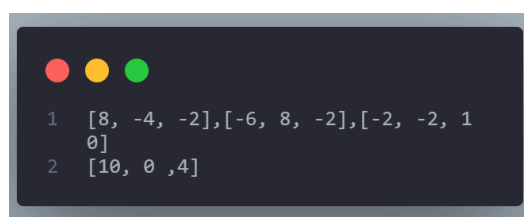


Figura 27 – Entrada para o Problema 1 (Exercício 4.1).

Saída Eliminação de Gauss:

```
1  --- Relatorio do Metodo de Eliminacao de Gauss ---
2  Matriz A:
3  [[ 8. -4. -2.]
4  [-6.  8. -2.]
5  [-2. -2. 10.]]
6
7  Vetor b:
8  [10.  0.  4.]
9
10 Solucao (x): [2.89189 2.54054 1.48649]
11 Tempo de execucao: 0.020034 segundos
```

Figura 28 – Saída do Método da Eliminação de Gauss para o Problema 1 .

Saída Fatoração de LU:

```
1  --- Relatorio do Metodo de Fatoracao LU ---
2  Matriz A:
3  [[ 8. -4. -2.]
4  [-6.  8. -2.]
5  [-2. -2. 10.]]
6
7  Vetor b:
8  [10.  0.  4.]
9
10 Matriz L:
11 [[ 1.  0.  0. ]
12 [-0.75 1.  0. ]
13 [-0.25 -0.6 1. ]]
14
15 Matriz U:
16 [[ 8. -4. -2. ]
17 [ 0.  5. -3.5]
18 [ 0.  0.  7.4]]
19
20 Solucao (x): [2.89189 2.54054 1.48649]
21 Tempo de execucao: 0.027830 segundos
```

Figura 29 – Saída do Método da Fatoração de LU para o Problema 1.

Problema 2 (Exercício 4.3)

Um cachorro está perdido em um labirinto quadrado de corredores (Figura 30). Em cada interseção ao escolhe uma direção ao acaso e segue até a interseção seguinte onde escolhe novamente ao acaso nova direção e assim por diante. Qual a probabilidade do cachorro, estando na interseção i , sair eventualmente pelo lado sul?

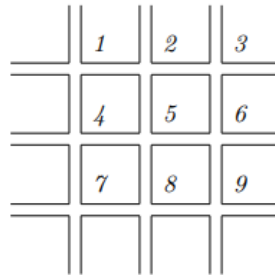


Figura 30 – Labirinto do Problema 2 (Exercício 4.3) .

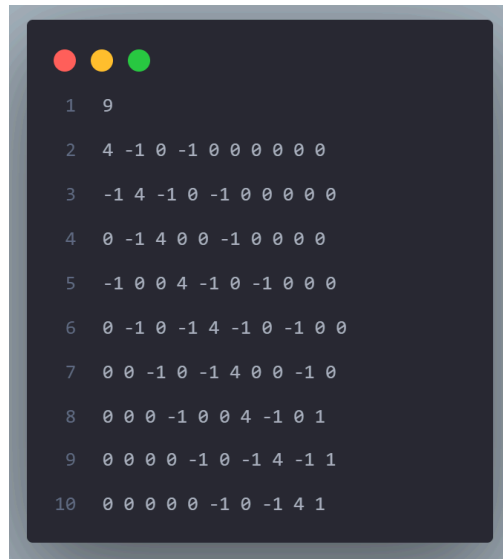
Esclarecimentos: Suponhamos que haja exatamente às 9 interseções mostradas na figura. Seja P_1 a probabilidade de o cachorro, que está na interseção 1, sair pelo lado sul. Sejam P_2, P_3, \dots, P_9 definidas de modo similar. Supondo que, em cada interseção a que chegue, o cachorro tenha a mesma possibilidade de escolher uma direção ou outra e que, tendo chegado a uma saída, sua caminhada termine, a teoria das probabilidades oferece as seguintes equações para P_i :

$$\left\{ \begin{array}{lcl} P_1 & = & (0 + 0 + P_2 + P_4)/4 \\ P_2 & = & (0 + P_1 + P_3 + P_5)/4 \\ P_3 & = & (0 + P_2 + 0 + P_6)/4 \\ P_4 & = & (P_1 + 0 + P_5 + P_7)/4 \\ P_5 & = & (P_2 + P_4 + P_6 + P_8)/4 \\ P_6 & = & (P_3 + P_5 + 0 + P_9)/4 \\ P_7 & = & (P_4 + 0 + P_8 + 1)/4 \\ P_8 & = & (P_5 + P_7 + P_9 + 1)/4 \\ P_9 & = & (P_6 + P_8 + 0 + 1)/4 \end{array} \right.$$

Figura 31 – Sistema de Equações Lineares do Problema 2.

Para saber a resposta resolva o sistema linear obtido.

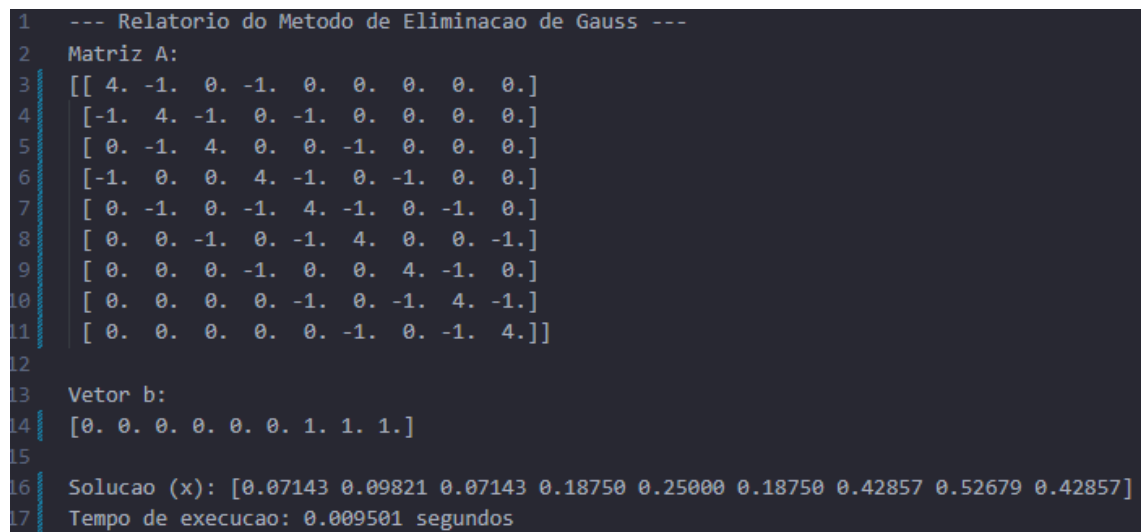
Entrada:



```
1 9
2 4 -1 0 -1 0 0 0 0 0
3 -1 4 -1 0 -1 0 0 0 0
4 0 -1 4 0 0 -1 0 0 0
5 -1 0 0 4 -1 0 -1 0 0
6 0 -1 0 -1 4 -1 0 -1 0
7 0 0 -1 0 -1 4 0 0 -1
8 0 0 0 -1 0 0 4 -1 0
9 0 0 0 0 -1 0 -1 4 -1
10 0 0 0 0 0 -1 0 -1 4 1
```

Figura 32 – Entrada para o Problema 2 (Exercício 4.3)

Saída Eliminação de Gauss:



```
1 --- Relatório do Metodo de Eliminacao de Gauss ---
2 Matriz A:
3 [[ 4. -1. 0. -1. 0. 0. 0. 0. 0.]
4 [-1. 4. -1. 0. -1. 0. 0. 0. 0.]
5 [ 0. -1. 4. 0. 0. -1. 0. 0. 0.]
6 [-1. 0. 0. 4. -1. 0. -1. 0. 0.]
7 [ 0. -1. 0. -1. 4. -1. 0. -1. 0.]
8 [ 0. 0. -1. 0. -1. 4. 0. 0. -1.]
9 [ 0. 0. 0. -1. 0. 0. 4. -1. 0.]
10 [ 0. 0. 0. 0. -1. 0. -1. 4. -1.]
11 [ 0. 0. 0. 0. 0. -1. 0. -1. 4.]]
12
13 Vetor b:
14 [0. 0. 0. 0. 0. 0. 1. 1. 1.]
15
16 Solucao (x): [0.07143 0.09821 0.07143 0.18750 0.25000 0.18750 0.42857 0.52679 0.42857]
17 Tempo de execucao: 0.009501 segundos
```

Figura 33 – Saída do Método da Eliminação de Gauss para o Problema 2.

Saída Fatoração de LU:

```

1  --- Relatorio do Metodo de Fatoracao LU ---
2  Matriz A:
3  [[ 4. -1. 0. -1. 0. 0. 0. 0. 0.]
4  [-1. 4. -1. 0. -1. 0. 0. 0. 0.]
5  [ 0. -1. 4. 0. 0. -1. 0. 0. 0.]
6  [-1. 0. 0. 4. -1. 0. -1. 0. 0.]
7  [ 0. -1. 0. -1. 4. -1. 0. -1. 0.]
8  [ 0. 0. -1. 0. -1. 4. 0. 0. -1.]
9  [ 0. 0. 0. -1. 0. 0. 4. -1. 0.]
10 [ 0. 0. 0. 0. -1. 0. -1. 4. -1.]
11 [ 0. 0. 0. 0. 0. -1. 0. -1. 4.]]
12
13 Vetor b:
14 [0. 0. 0. 0. 0. 0. 1. 1. 1.]
15
16 Matriz L:
17 [[ 1. 0. 0. 0. 0. 0.
18  0. 0. 0. 0. 0. 0.
19  -0.25 1. 0. 0. 0. 0.
20  0. 0. 0. 0. 0. 0.
21  -0.26666667 -0.26666667 1. 0. 0. 0.
22  0. 0. 0. 0. 0. 0.
23  -0.25 -0.06666667 -0.01785714 1. 0. 0.
24  0. 0. 0. 0. 0. 0.
25  -0.26666667 -0.07142857 -0.28708134 1. 0. 0.
26  0. 0. 0. 0. 0. 0.
27  -0.26785714 -0.00478469 -0.31601124 1. 0. 0.
28  0. 0. 0. 0. 0. 0.
29  -0.26794258 -0.08426966 -0.02815735 1. 0. 0.
30  1. 0. 0. 0. 0. 0.
31  -0.295038 -0.0931677 -0.02815735 0. 1. 0.
32  -0.295038 1. 0. 0. 0. 0.
33  -0.00759946 -0.32835821 1. 0. 0. 0.
34  -0.00759946 -0.32835821 1. 0. 0. 0.]]
35
36 Matriz U:
37 [[ 4. -1. 0. -1. 0. 0.
38  0. 0. 0. 0. 0. 0.
39  [ 0. 3.75 -1. -0.25 -1. 0.
40  0. 0. 0. 0. 0. 0.
41  [ 0. 0. 3.73333333 -0.06666667 -0.26666667 -1.
42  0. 0. 0. 0. 0. 0.
43  [ 0. 0. 0. 3.73214286 -1.07142857 -0.01785714
44  -1. 0. 0. 0. 0. 0.
45  [ 0. 0. 0. 0. 3.40669856 -1.07655502
46  -0.28708134 -1. 0. 0. 0. 0.
47  [ 0. 0. 0. 0. 0. 3.39185393
48  -0.09550562 -0.31601124 -1. 0. 0. 0.
49  [ 0. 0. 0. 0. 0. 0.
50  3.70517598 -1.0931677 -0.02815735]
51  [ 0. 0. 0. 0. 0. 0.
52  0. 3.35449262 -1.10147519]
53  [ 0. 0. 0. 0. 0. 0.
54  0. 0. 3.34328358]]
55
56 Solucao (x): [0.07143 0.09821 0.07143 0.18750 0.25000 0.18750 0.42857 0.52679 0.42857]
57 Tempo de execucao: 0.009000 segundos

```

Figura 34 – Saída do Método da Fatoração de LU para o Problema 2

Problema 3 (Exercício 4.6)

Considere o circuito em escada, mostrado na Figura 4.7, composto de resistores concentrados e fontes de tensão ideais, uma independente e outra controlada.

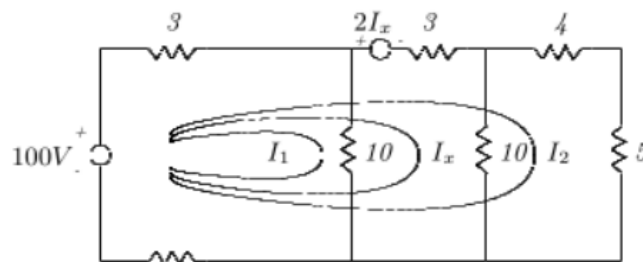


Figura 35 – Circuito em Escada do Problema 3 (Exercício 4.6).

O sistema de equações que se obtém ao solucionar o circuito pelo método dos laços é o seguinte:

$$\begin{cases} 4 (I_1 + I_2 + I_x) + 10 I_1 = 100 \\ 4 (I_1 + I_2 + I_x) + 3 (I_2 + I_x) + 10 I_x = 100 - 2 I_x \\ 4 (I_1 + I_2 + I_x) + 3 (I_2 + I_x) + 9 I_x = 100 - 2 I_x \end{cases}$$

Figura 36 – Sistema de Equações Lineares do Problema 3.

Entrada:

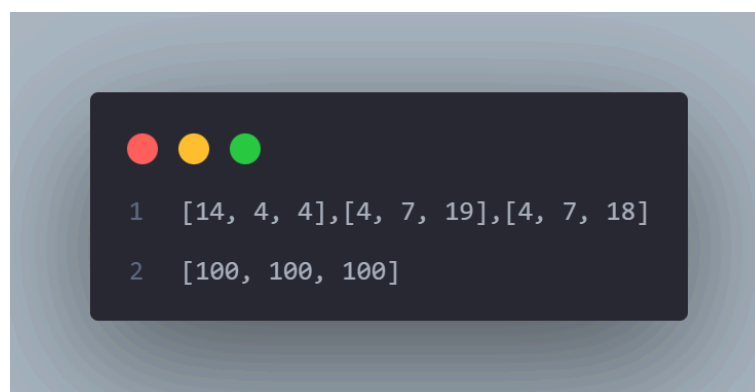


Figura 37 – Entrada para o Problema 3 (Exercício 4.6).

Saída Eliminação de Gauss:

```
1  --- Relatorio do Metodo de Eliminacao de Gauss ---
2  Matriz A:
3  ▾ [[14.  4.  4.]
4     [ 4.  7. 19.]
5     [ 4.  7. 18.]]
6
7  Vetor b:
8  [100. 100. 100.]
9
10 Solucao (x): [3.65854 12.19512 0.00000]
11 Tempo de execucao: 0.007031 segundos
```

Figura 38 – Saída do Método da Eliminação de Gauss para o Problema 3.

Saída Fatoração de LU:

```
1  --- Relatorio do Metodo de Fatoracao LU ---
2  Matriz A:
3  ▾ [[14.  4.  4.]
4     [ 4.  7. 19.]
5     [ 4.  7. 18.]]
6
7  Vetor b:
8  [100. 100. 100.]
9
10 Matriz L:
11 ▾ [[1.      0.      0.      ]
12    [0.28571429 1.      0.      ]
13    [0.28571429 1.      1.      ]]
14
15 Matriz U:
16 ▾ [[14.      4.      4.      ]
17    [ 0.      5.85714286 17.85714286]
18    [ 0.      0.      -1.      ]]
19
20 Solucao (x): [3.65854 12.19512 0.00000]
21 Tempo de execucao: 0.003349 segundos
```

Figura 39 – Saída do Método da Fatoração de LU para o Problema 3.

Problema 4 (Exercício 5.1)

Uma maneira de se obter a solução da equação de Laplace:

$$\frac{\partial^2 u}{\partial x^2} + \frac{\partial^2 u}{\partial y^2} = 0 ,$$

Figura 40 – Sistema Linear da Equação de Laplace (Exercício 5.1).

em uma região retangular consiste em se fazer uma discretização que transforma a equação em um problema aproximado consistindo em uma equação de diferenças cuja solução, em um caso particular, exige a solução do seguinte sistema linear:

$$\begin{pmatrix} 4 & -1 & 0 & -1 & 0 & 0 \\ -1 & 4 & -1 & 0 & -1 & 0 \\ 0 & -1 & 4 & 0 & 0 & -1 \\ -1 & 0 & 0 & 4 & -1 & 0 \\ 0 & -1 & 0 & -1 & 4 & -1 \\ 0 & 0 & -1 & 0 & -1 & 4 \end{pmatrix} \begin{pmatrix} x_1 \\ x_2 \\ x_3 \\ x_4 \\ x_5 \\ x_6 \end{pmatrix} = \begin{pmatrix} 100 \\ 0 \\ 0 \\ 100 \\ 0 \\ 0 \end{pmatrix} .$$

Figura 41 - Matriz do (Exercício 5.1).

Entrada:

```
1 [4, -1, 0, -1, 0, 0][-1, 4, -1, 0, -1, 0][0, -1, 4, 0, 0, -1][-1, 0, 0, 4, -1, 0][0, -1, 0, -1, 4, -1][0, 0, -1, 0, -1, 4]
2 [100, 0, 0, 100, 0, 0]
```

Figura 42 – Entrada para o Problema 4 (Exercício 5.1).

Saída de Jacobi:

```

100, 1 minute ago | 1 author (100)
1  --- Relatório do Metodo de Jacobi ---
2  Matriz A:
3  [[ 4. -1.  0. -1.  0.  0.]
4   [-1.  4. -1.  0. -1.  0.]
5   [ 0. -1.  4.  0.  0. -1.]
6   [-1.  0.  0.  4. -1.  0.]
7   [ 0. -1.  0. -1.  4. -1.]
8   [ 0.  0. -1.  0. -1.  4.]]
9
10 Vetor b:
11 [100.  0.  0. 100.  0.  0.]
12
13 Iter | Vetor x | Erro
14 -----
15 1 | [25.000000 0.000000 0.000000 25.000000 0.000000 0.000000] | 3.535534e+01
16 2 | [31.250000 6.250000 0.000000 31.250000 6.250000 0.000000] | 1.250000e+01
17 3 | [34.375000 9.375000 1.562500 34.375000 9.375000 1.562500] | 6.629126e+00
18 4 | [35.937500 11.328125 2.734375 35.937500 11.328125 2.734375] | 3.906250e+00
19 5 | [36.816406 12.500000 3.515625 36.816406 12.500000 3.515625] | 2.347815e+00
20 6 | [37.329102 13.208008 4.003906 37.329102 13.208008 4.003906] | 1.416016e+00
21 7 | [37.634277 13.635254 4.302979 37.634277 13.635254 4.302979] | 8.545358e-01
22 8 | [37.817383 13.893127 4.484558 37.817383 13.893127 4.484558] | 5.157471e-01
23 9 | [37.927628 14.048767 4.594421 37.927628 14.048767 4.594421] | 3.112798e-01
24 10 | [37.994099 14.142704 4.660797 37.994099 14.142704 4.660797] | 1.878738e-01
25 11 | [38.034201 14.199400 4.700875 38.034201 14.199400 4.700875] | 1.133919e-01
26 12 | [38.058400 14.233619 4.725069 38.058400 14.233619 4.725069] | 6.843805e-02
27 13 | [38.073005 14.254272 4.739672 38.073005 14.254272 4.739672] | 4.130602e-02
28 14 | [38.081819 14.266737 4.748486 38.081819 14.266737 4.748486] | 2.493039e-02
29 15 | [38.087139 14.274261 4.753806 38.087139 14.274261 4.753806] | 1.504682e-02
30 16 | [38.090350 14.278801 4.757017 38.090350 14.278801 4.757017] | 9.081559e-03
31 17 | [38.092288 14.281542 4.758954 38.092288 14.281542 4.758954] | 5.481206e-03
32 18 | [38.093457 14.283196 4.760124 38.093457 14.283196 4.760124] | 3.308200e-03
33 19 | [38.094163 14.284194 4.760830 38.094163 14.284194 4.760830] | 1.996676e-03
34 20 | [38.094589 14.284797 4.761256 38.094589 14.284797 4.761256] | 1.205100e-03
35 21 | [38.094847 14.285161 4.761513 38.094847 14.285161 4.761513] | 7.273424e-04
36 22 | [38.095002 14.285380 4.761668 38.095002 14.285380 4.761668] | 4.389900e-04
37 23 | [38.095095 14.285513 4.761762 38.095095 14.285513 4.761762] | 2.649539e-04
38 24 | [38.095152 14.285593 4.761819 38.095152 14.285593 4.761819] | 1.599138e-04
39 25 | [38.095186 14.285641 4.761853 38.095186 14.285641 4.761853] | 9.651652e-05
40 26 | [38.095207 14.285670 4.761873 38.095207 14.285670 4.761873] | 5.825287e-05
41 27 | [38.095219 14.285688 4.761886 38.095219 14.285688 4.761886] | 3.515872e-05
42 28 | [38.095227 14.285698 4.761893 38.095227 14.285698 4.761893] | 2.122016e-05
43 29 | [38.095231 14.285705 4.761898 38.095231 14.285705 4.761898] | 1.280750e-05
44 30 | [38.095234 14.285708 4.761901 38.095234 14.285708 4.761901] | 7.730011e-06
45 31 | [38.095236 14.285711 4.761902 38.095236 14.285711 4.761902] | 4.665475e-06
46 32 | [38.095237 14.285712 4.761903 38.095237 14.285712 4.761903] | 2.815863e-06
47 33 | [38.095237 14.285713 4.761904 38.095237 14.285713 4.761904] | 1.699524e-06
48 34 | [38.095238 14.285714 4.761904 38.095238 14.285714 4.761904] | 1.025753e-06
49 35 | [38.095238 14.285714 4.761904 38.095238 14.285714 4.761904] | 6.190969e-07
50
51 -----
52 --- Resumo Final ---
53 Solucao encontrada: [38.09524 14.28571 4.76190 38.09524 14.28571 4.76190]
54 Erro final estimado: 6.19e-07
55 Numero de iteracoes: 35
56 Tempo de execucao: 0.004665 segundos

```

Figura 43 – Saída do Método de Jacobi para o Problema 4.

Saída de Gauss-Seidel:

```

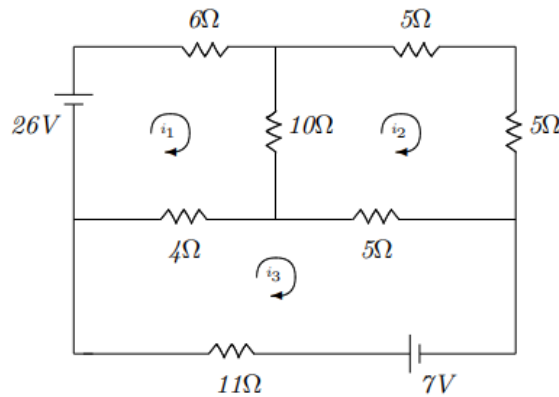
1  --- Relatorio do Metodo de Gauss-Seidel ---
2  Matriz A:
3  [[ 4. -1.  0. -1.  0.  0.]
4  [-1.  4. -1.  0. -1.  0.]
5  [ 0. -1.  4.  0.  0. -1.]
6  [-1.  0.  0.  4. -1.  0.]
7  [ 0. -1.  0. -1.  4. -1.]
8  [ 0.  0. -1.  0. -1.  4.]]
9
10 Vetor b:
11 [100.  0.  0. 100.  0.  0.]
12
13 Iter | Vetor x | Erro
14 -----
15 1 | [25.000000 6.250000 1.562500 31.250000 9.375000 2.734375] | 4.169453e+01
16 2 | [34.375000 11.328125 3.515625 35.937500 12.500000 4.003906] | 1.228180e+01
17 3 | [36.816406 13.208008 4.302979 37.329102 13.635254 4.484558] | 3.683847e+00
18 4 | [37.634277 13.893127 4.594421 37.817383 14.048767 4.660797] | 1.289850e+00
19 5 | [37.927628 14.142704 4.700875 37.994099 14.199400 4.725069] | 4.666100e-01
20 6 | [38.034201 14.233619 4.739672 38.058400 14.254272 4.748486] | 1.697720e-01
21 7 | [38.073005 14.266737 4.753806 38.081819 14.274261 4.757017] | 6.183128e-02
22 8 | [38.087139 14.278801 4.758954 38.090350 14.281542 4.760124] | 2.252290e-02
23 9 | [38.092288 14.283196 4.760830 38.093457 14.284194 4.761256] | 8.204518e-03
24 10 | [38.094163 14.284797 4.761513 38.094589 14.285161 4.761668] | 2.988712e-03
25 11 | [38.094847 14.285380 4.761762 38.095002 14.285513 4.761819] | 1.088718e-03
26 12 | [38.095095 14.285593 4.761853 38.095152 14.285641 4.761873] | 3.965945e-04
27 13 | [38.095186 14.285670 4.761886 38.095207 14.285688 4.761893] | 1.444701e-04
28 14 | [38.095219 14.285698 4.761898 38.095227 14.285705 4.761901] | 5.262711e-05
29 15 | [38.095231 14.285708 4.761902 38.095234 14.285711 4.761903] | 1.917083e-05
30 16 | [38.095236 14.285712 4.761904 38.095237 14.285713 4.761904] | 6.983486e-06
31 17 | [38.095237 14.285714 4.761904 38.095238 14.285714 4.761905] | 2.543921e-06
32 18 | [38.095238 14.285714 4.761905 38.095238 14.285714 4.761905] | 9.266912e-07
33
34 -----
35 --- Resumo Final ---
36 Solucao encontrada: [38.09524 14.28571 4.76190 38.09524 14.28571 4.76190]
37 Erro final estimado: 9.27e-07
38 Numero de iteracoes: 18
39 Tempo de execucao: 0.000536 segundos

```

Figura 44 – Saída do Método de Gauss-Seidel para o Problema 4.

Problema 5 (Exercício 5.2)

Considere o circuito da figura a seguir, com resistências e baterias tal como indicado; escolhemos arbitrariamente as orientações das correntes.



Aplicando a lei de Kirchhoff, que diz que a soma algébrica das diferenças de potencial em qualquer circuito fechado é zero, achamos para as correntes i_1 , i_2 , i_3 :

$$\begin{cases} 6i_1 + 10(i_1 - i_2) + 4(i_1 - i_3) - 26 = 0 \\ 5i_2 + 5i_2 + 5(i_2 - i_3) + 10(i_2 - i_1) = 0 \\ 11i_3 + 4(i_3 - i_1) + 5(i_3 - i_2) - 7 = 0 \end{cases}$$

Figura 45 – Sistema de Equações Lineares do Problema 5.

Entrada:

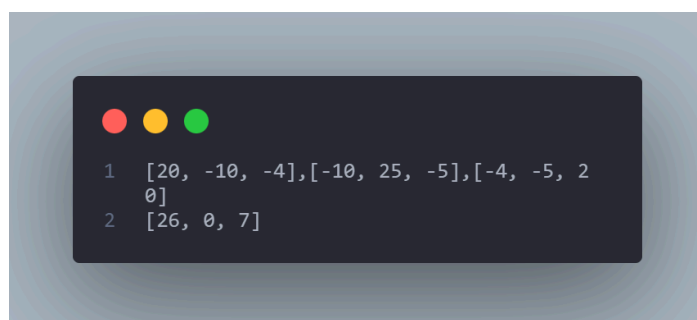


Figura 46 – Entrada para o Problema 5 (Exercício 5.2).

Saída de Jacobi:

```

1+ --- Relatorio do Metodo de Jacobi ---
2  Matriz A:
3  ✓ [[ 20. -10. -4.]
4     [-10. 25. -5.]
5     [-4. -5. 20.]]
6
7  Vetor b:
8  ✓ [26. 0. 7.]
9
10 Iter | Vetor x | Erro
11 -----
12 1 | [1.300000 0.000000 0.350000] | 1.346291e+00
13 2 | [1.370000 0.590000 0.610000] | 6.485368e-01
14 3 | [1.717000 0.670000 0.771500] | 3.910131e-01
15 4 | [1.789300 0.841100 0.860900] | 2.061428e-01
16 5 | [1.892730 0.887900 0.918135] | 1.271371e-01
17 6 | [1.927577 0.940719 0.950521] | 7.108455e-02
18 7 | [1.960464 0.961135 0.970695] | 4.365025e-02
19 8 | [1.974707 0.978325 0.982376] | 2.519506e-02
20 9 | [1.985638 0.986358 0.989522] | 1.533256e-02
21 10 | [1.991083 0.992160 0.993717] | 8.995028e-03
22 11 | [1.994823 0.995177 0.996257] | 5.434959e-03
23 12 | [1.996840 0.997181 0.997759] | 3.215348e-03
24 13 | [1.998142 0.998288 0.998663] | 1.933756e-03
25 14 | [1.998876 0.998989 0.999200] | 1.149114e-03
26 15 | [1.999335 0.999391 0.999523] | 6.891563e-04
27 16 | [1.999600 0.999638 0.999715] | 4.105102e-04
28 17 | [1.999762 0.999783 0.999830] | 2.457920e-04
29 18 | [1.999857 0.999871 0.999898] | 1.466048e-04
30 19 | [1.999915 0.999923 0.999939] | 8.769695e-05
31 20 | [1.999949 0.999954 0.999964] | 5.234603e-05
32 21 | [1.999970 0.999972 0.999978] | 3.129595e-05
33 22 | [1.999982 0.999984 0.999987] | 1.868811e-05
34 23 | [1.999989 0.999990 0.999992] | 1.116963e-05
35 24 | [1.999994 0.999994 0.999995] | 6.671376e-06
36 25 | [1.999996 0.999996 0.999997] | 3.986712e-06
37 26 | [1.999998 0.999998 0.999998] | 2.381483e-06
38 27 | [1.999999 0.999999 0.999999] | 1.423001e-06
39 28 | [1.999999 0.999999 0.999999] | 8.500982e-07
40
41 -----
42 --- Resumo Final ---
43 Solucao encontrada: [2.00000 1.00000 1.00000]
44 Erro final estimado: 8.50e-07
45 Numero de iteracoes: 28
46 Tempo de execucao: 0.011413 segundos

```

Figura 47 – Saída do Método de Jacobi para o Problema 5.

Saída de Gauss-Seidel:

```

1 + --- Relatório do Metodo de Gauss-Seidel ---
2   Matriz A:
3   √ [[ 20. -10. -4.]
4     [-10. 25. -5.]
5     [-4. -5. 20.]]
6
7   Vetor b:
8   [26. 0. 7.]
9
10  Iter | Vetor x | Erro
11  √ -----
12      1 | [1.300000 0.520000 0.740000] | 1.583667e+00
13      2 | [1.708000 0.831200 0.899400] | 5.373247e-01
14      3 | [1.895480 0.938072 0.963614] | 2.251529e-01
15      4 | [1.961759 0.977426 0.986708] | 8.046732e-02
16      5 | [1.986055 0.991764 0.995152] | 2.944737e-02
17      6 | [1.994912 0.996995 0.998231] | 1.073803e-02
18      7 | [1.998144 0.998904 0.999355] | 3.917736e-03
19      8 | [1.999323 0.999600 0.999765] | 1.429259e-03
20      9 | [1.999753 0.999854 0.999914] | 5.214249e-04
21     10 | [1.999910 0.999947 0.999969] | 1.902269e-04
22     11 | [1.999967 0.999981 0.999989] | 6.939883e-05
23     12 | [1.999988 0.999993 0.999996] | 2.531818e-05
24     13 | [1.999996 0.999997 0.999998] | 9.236611e-06
25     14 | [1.999998 0.999999 0.999999] | 3.369713e-06
26     15 | [1.999999 1.000000 1.000000] | 1.229343e-06
27     16 | [2.000000 1.000000 1.000000] | 4.484907e-07
28
29  -----
30  --- Resumo Final ---
31  Solucao encontrada: [2.00000 1.00000 1.00000]
32  Erro final estimado: 4.48e-07
33  Numero de iteracoes: 16
34  Tempo de execucao: 0.001181 segundos

```

Figura 48 – Saída do Método de Gauss-Seidel para o Problema 5.

Problema 6 (Exercício 5.5)

Suponha que uma membrana com dimensões 80cm × 80cm tenha cada um dos seus lados mantidos a uma temperatura constante. Usando a teoria de equações diferenciais parciais pode-se formular uma equação que determina o valor da temperatura no interior dessa membrana. Essa equação diferencial pode ser simplificada colocando-se uma malha com 9 pontos sobre essa membrana e calculando-se a temperatura nos pontos da malha, como mostra a figura:

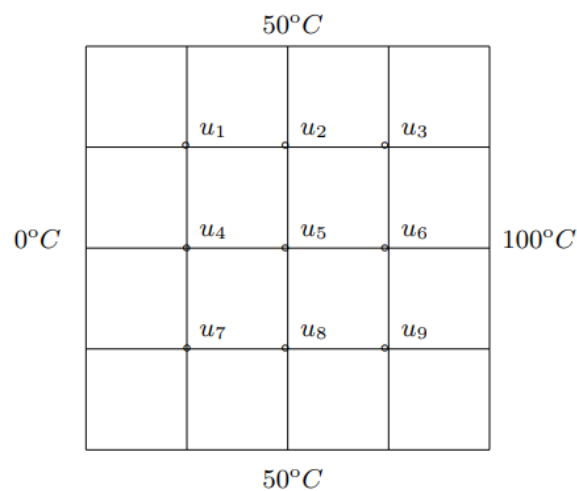


Figura 49 – Malha de Temperatura da Membrana (Exercício 5.5).

onde u_1, u_2, \dots, u_9 são os valores da temperatura em cada ponto da malha. O sistema de equações resultante é dado por:

Entrada:

```
1 [-4, 1, 1, 0, 0, 0, 0, 0, 0],
2 [1, -4, 1, 1, 0, 0, 0, 0, 0],
3 [1, 1, -4, 0, 1, 0, 0, 0, 0],
4 [0, 1, 0, -4, 1, 1, 0, 0, 0],
5 [0, 0, 1, 1, -4, 1, 1, 0, 0],
6 [0, 0, 0, 1, 1, -4, 0, 1, 0],
7 [0, 0, 0, 0, 1, 0, -4, 1, 1],
8 [0, 0, 0, 0, 0, 1, 1, -4, 1],
9 [0, 0, 0, 0, 0, 0, 1, 1, -4]
10 [-50, -50, -150, 0, 0, -100, -50, -50, -150]
```

Figura 50 – Entrada para o Problema 6 (Exercício 5.5).

Saída de Jacobi:

```
84 --- Resumo Final ---
85 ✓ Solucao encontrada: [46.03676 55.38839 78.75865 46.75815 63.60947 68.03475 60.88631 61.77137
86 | 68.16442]
87 Erro final estimado: 8.63e-07
88 Numero de iteracoes: 64
89 Tempo de execucao: 0.003849 segundos
```

Figura 51 – Saída do Método de Jacobi para o Problema 6.

Saída de Gauss-Seidel:

```
55 + --- Resumo Final ---
56 Solucao encontrada: [46.03676 55.38839 78.75866 46.75815 63.60947 68.03475 60.88631 61.77137
57 | 68.16442]
58 Erro final estimado: 6.44e-07
59 Numero de iteracoes: 35
60 Tempo de execucao: 0.013529 segundos
```

Figura 52 – Saída do Método de Gauss-Seidel para o Problema 6.

Condição da Matriz

Estratégia de Implementação:

A estratégia central adotada foi basear o cálculo na definição $\text{Cond}(A) = ||A|| \cdot ||A^{-1}||$. Uma decisão fundamental no desenvolvimento foi implementar o cálculo da matriz inversa a partir de seus princípios matemáticos, em vez de utilizar uma função pronta como `np.linalg.inv()`. Para isso, o método da **Fatoração LU**, já desenvolvido para o módulo de sistemas lineares, foi reutilizado como um passo intermediário.

O processo se inicia com a decomposição da matriz de entrada A nas matrizes L (triangular inferior) e U (triangular superior). Em seguida, a matriz inversa é construída coluna por coluna, resolvendo-se n sistemas lineares do tipo $Ax = e$, onde e é cada um dos vetores da base canônica (colunas da matriz identidade). Com A e sua inversa A^{-1} em mãos, o número de condição é finalmente calculado pelo produto de suas normas. Foi escolhida a **Norma-2 (ou Espectral)**, computada eficientemente pela função `np.linalg.norm(A, ord=2)`, por ser a definição mais robusta e comum em contextos teóricos. Toda a lógica de cálculo foi encapsulada em um bloco **try...except** para lidar de forma segura com matrizes singulares, que não admitem inversa.

Estrutura dos Arquivos de Entrada/Saída

A estrutura de arquivos foi mantida consistente para garantir uma experiência de uso uniforme em todo o código.

- **Arquivo de Entrada (ex: `entrada_matriz.txt`)** O método se destaca por um sistema de leitura de arquivos (`_parse_matrix`) excepcionalmente flexível, localizado no diretório `input/`. Ele é capaz de interpretar automaticamente múltiplos formatos de matriz, tais como:
 - **Formato de Dimensão:** A primeira linha contém a ordem n da matriz, seguida por n linhas com os valores da matriz separados por espaço.
 - **Formato de Linha Única:** Um arquivo de uma única linha contendo a matriz inteira, seja como lista aninhada (`[[...]]`) ou como sequência de listas (`[...],[...]`).
 - **Formato Linha por Linha:** Um arquivo onde cada linha representa uma linha da matriz, com valores em formato de lista (`[...]`) ou separados por espaço.

- **Arquivo de Saída (condicionamento_saida.txt)** O relatório gerado no diretório **output/** foi projetado para ser completo e informativo:
 - O cabeçalho informa o tipo de análise e exibe a **Matriz Original A** para referência.
 - O corpo do relatório apresenta os resultados principais: a **Norma da Matriz A**, o **Número de Condição K(A)** e uma conclusão automática se a matriz é considerada "bem condicionada" ou "mal condicionada" (baseado em um limiar de 100).
 - Em seguida, a **Matriz Inversa A⁻¹** completa é exibida, juntamente com o valor de sua norma.
 - O arquivo é concluído com o **Tempo de execução** total do processo.

Dificuldades enfrentadas

O principal obstáculo na implementação foi o cálculo da matriz inversa a partir da fatoração LU. Diferente de usar uma função pronta, essa abordagem exigiu a construção de um laço para resolver n sistemas lineares distintos ($Ax = e_i$), o que demandou um controle cuidadoso da criação dos vetores da base canônica e da montagem da matriz inversa, que foi preenchida coluna por coluna no array `A_inv`. Outro ponto crítico foi garantir a estabilidade numérica do processo de fatoração LU. A presença de um pivô nulo na diagonal da matriz `U` poderia causar uma falha por divisão por zero. Para contornar isso, uma verificação explícita `if U[i,i] == 0` foi adicionada para lançar uma exceção (`np.linalg.LinAlgError`), que é capturada pela função principal, informando ao usuário que a matriz é provavelmente singular e o cálculo não pode prosseguir.

Problemas Estabelecidos

Problema 1 (Exercício 4.1)

Entrada:



Figura 53 – Entrada para a Matriz do Problema 4.1.

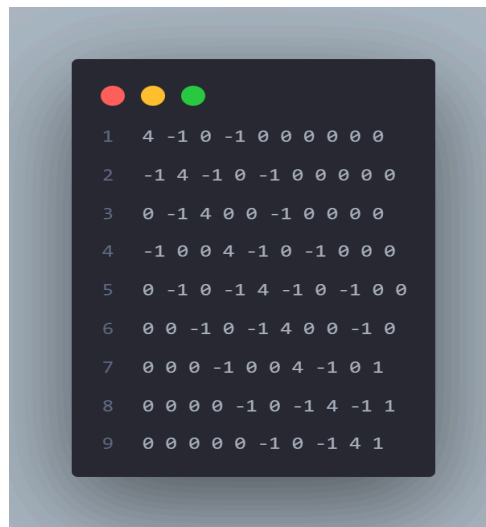
Saída:

```
1+ --- Relatório de Análise de Condicionamento de Matriz ---|
2
3 Matriz Original A:
4 ✓ [[8.0000 -4.0000 -2.0000]
5  | [-6.0000 8.0000 -2.0000]
6  | [-2.0000 -2.0000 10.0000]]
7
8 -----
9 Norma da Matriz A (norma-inf): 13.06363
10 Número de Condição K(A): 6.34471
11 -> A matriz é considerada bem condicionada.
12 -----
13
14 Matriz Inversa A-1:
15 ✓ [[0.25676 0.14865 0.08108]
16  | [0.21622 0.25676 0.09459]
17  | [0.09459 0.08108 0.13514]]
18
19 Norma da Matriz Inversa (norma-inf): 0.48568
20 -----
21
22 Tempo de execução: 0.003768 segundos
```

Figura 54 – Saída da Análise de Condicionamento para o Problema 4.1.

Problema 2 (Exercício 4.3)

Entrada:



1	4	-1	0	-1	0	0	0	0	0
2	-1	4	-1	0	-1	0	0	0	0
3	0	-1	4	0	0	-1	0	0	0
4	-1	0	0	4	-1	0	-1	0	0
5	0	-1	0	-1	4	-1	0	-1	0
6	0	0	-1	0	-1	4	0	0	-1
7	0	0	0	-1	0	0	4	-1	0
8	0	0	0	0	-1	0	-1	4	-1
9	0	0	0	0	0	-1	0	-1	4

Figura 55 – Entrada para a Matriz do Problema 4.3.

Saída:

```
1+ --- Relatório de Análise de Condicionamento de Matriz --- You, 7 days
2
3 Matriz Original A:
4 ✓ [[4.0000 -1.0000 0.0000 -1.0000 0.0000 0.0000 0.0000 0.0000 0.0000]
5 [-1.0000 4.0000 -1.0000 0.0000 -1.0000 0.0000 0.0000 0.0000 0.0000]
6 [0.0000 -1.0000 4.0000 0.0000 0.0000 -1.0000 0.0000 0.0000 0.0000]
7 [-1.0000 0.0000 0.0000 4.0000 -1.0000 0.0000 -1.0000 0.0000 0.0000]
8 [0.0000 -1.0000 0.0000 -1.0000 4.0000 -1.0000 0.0000 -1.0000 0.0000]
9 [0.0000 0.0000 -1.0000 0.0000 -1.0000 4.0000 0.0000 0.0000 -1.0000]
10 [0.0000 0.0000 0.0000 -1.0000 0.0000 0.0000 4.0000 -1.0000 0.0000]
11 [0.0000 0.0000 0.0000 0.0000 -1.0000 0.0000 -1.0000 4.0000 -1.0000]
12 [0.0000 0.0000 0.0000 0.0000 0.0000 -1.0000 0.0000 -1.0000 4.0000]]
13
14 -----
15 Norma da Matriz A (norma-inf): 6.82843
16 Número de Condição K(A): 5.82843
17 -> A matriz é considerada bem condicionada.
18
19 -----
20 Matriz Inversa A-1:
21 ✓ [[0.29911 0.09821 0.03125 0.09821 0.06250 0.02679 0.03125 0.02679 0.01339]
22 [0.09821 0.33036 0.09821 0.06250 0.12500 0.06250 0.02679 0.04464 0.02679]
23 [0.03125 0.09821 0.29911 0.02679 0.06250 0.09821 0.01339 0.02679 0.03125]
24 [0.09821 0.06250 0.02679 0.33036 0.12500 0.04464 0.09821 0.06250 0.02679]
25 [0.06250 0.12500 0.06250 0.12500 0.37500 0.12500 0.06250 0.12500 0.06250]
26 [0.02679 0.06250 0.09821 0.04464 0.12500 0.33036 0.02679 0.06250 0.09821]
27 [0.03125 0.02679 0.01339 0.09821 0.06250 0.02679 0.29911 0.09821 0.03125]
28 [0.02679 0.04464 0.02679 0.06250 0.12500 0.06250 0.09821 0.33036 0.09821]
29 [0.01339 0.02679 0.03125 0.02679 0.06250 0.09821 0.03125 0.09821 0.29911]]
30
31 Norma da Matriz Inversa (norma-inf): 0.85355
32
33 -----
34 Tempo de execução: 0.011676 segundos
```

Figura 56 – Saída da Análise de Condicionamento para o Problema 4.3.

Problema 3 (Exercício 4.6)

Entrada:



Figura 57 – Entrada para a Matriz do Problema 4.6.

Saída:

```
1 + --- Relatório de Análise de Condicionamento de Matriz ---
2
3   Matriz Original A:
4   ✓ [[14.0000 4.0000 4.0000]
5     [4.0000 7.0000 19.0000]
6     [4.0000 7.0000 18.0000]]
7
8   -----
9   Norma da Matriz A (norma-inf): 29.83806
10  Número de Condição K(A):      134.14125
11  -> AVISO: A matriz é considerada mal condicionada.
12
13  -----
14  Matriz Inversa A-1:
15  ✓ [[0.08537 0.53659 -0.58537]
16     [-0.04878 -2.87805 3.04878]
17     [-0.00000 1.00000 -1.00000]]
18
19  Norma da Matriz Inversa (norma-inf): 4.49564
20
21  -----
22  Tempo de execução: 0.000305 segundos
```

Figura 58 – Saída da Análise de Condicionamento para o Problema 4.6.

Problema 4 (Exercício 5.1)

Entrada:



1	4	-1	0	-1	0	0
2	-1	4	-1	0	-1	0
3	0	-1	4	0	0	-1
4	-1	0	0	4	-1	0
5	0	-1	0	-1	4	-1
6	0	0	-1	0	-1	4

Figura 59 – Entrada para a Matriz do Problema 5.1.

Saída:

```
1  --- Relatório de Análise de Condicionamento de Matriz ---
2  +
3  Matriz Original A:
4  [[4.0000 -1.0000 0.0000 -1.0000 0.0000 0.0000]
5  [-1.0000 4.0000 -1.0000 0.0000 -1.0000 0.0000]
6  [0.0000 -1.0000 4.0000 0.0000 0.0000 -1.0000]
7  [-1.0000 0.0000 0.0000 4.0000 -1.0000 0.0000]
8  [0.0000 -1.0000 0.0000 -1.0000 4.0000 -1.0000]
9  [0.0000 0.0000 -1.0000 0.0000 -1.0000 4.0000]]
10
11  -----
12  Norma da Matriz A (norma-inf): 6.41421
13  Número de Condição K(A): 4.04482
14  -> A matriz é considerada bem condicionada.
15
16  -----
17  Matriz Inversa A-1:
18  [[0.29482 0.09317 0.02816 0.08613 0.04969 0.01946]
19  [0.09317 0.32298 0.09317 0.04969 0.10559 0.04969]
20  [0.02816 0.09317 0.29482 0.01946 0.04969 0.08613]
21  [0.08613 0.04969 0.01946 0.29482 0.09317 0.02816]
22  [0.04969 0.10559 0.04969 0.09317 0.32298 0.09317]
23  [0.01946 0.04969 0.08613 0.02816 0.09317 0.29482]]
24
25  Norma da Matriz Inversa (norma-inf): 0.63060
26
27  -----
28  Tempo de execução: 0.002795 segundos
```

Figura 60 – Saída da Análise de Condicionamento para o Problema 5.1.

Problema 5 (Exercício 5.2)

Entrada:

A terminal window with a dark background and light gray text. At the top, there are three colored circles: red, yellow, and green. Below them, the matrix is entered row by row, with row numbers 1, 2, and 3 on the left.

1	20	-10	-4
2	-10	25	-5
3	-4	-5	20

Figura 61 – Entrada para a Matriz do Problema 5.2.

Saída:

```
1+ --- Relatório de Análise de Condicionamento de Matriz ---
2
3 Matriz Original A:
4 [[20.0000 -10.0000 -4.0000]
5  [-10.0000 25.0000 -5.0000]
6  [-4.0000 -5.0000 20.0000]]
7
8 -----
9 Norma da Matriz A (norma-inf): 33.00423
10 Número de Condição K(A): 3.78371
11 -> A matriz é considerada bem condicionada.
12
13 -----
14 Matriz Inversa A-1:
15 [[0.07090 0.03284 0.02239]
16  [0.03284 0.05731 0.02090]
17  [0.02239 0.02090 0.05970]]
18
19 Norma da Matriz Inversa (norma-inf): 0.11464
20
21 -----
22 Tempo de execução: 0.019614 segundos
```

Figura 62 – Saída da Análise de Condicionamento para o Problema 5.2.

Problema 6 (Exercício 5.5)

Entrada:



1	-4	1	1	0	0	0	0	0
2	1	-4	1	1	0	0	0	0
3	1	1	-4	0	1	0	0	0
4	0	1	0	-4	1	1	0	0
5	0	0	1	1	-4	1	1	0
6	0	0	0	1	1	-4	0	1
7	0	0	0	0	1	0	-4	1
8	0	0	0	0	0	1	1	-4
9	0	0	0	0	0	1	1	-4

Figura 63 – Entrada para a Matriz do Problema 5.5.

Saída:

```
14 -----
15 Norma da Matriz A (norma-inf): 6.26566
16 Número de Condição K(A):      6.38096
17 -> A matriz é considerada bem condicionada.
18
19 -----
20 Matriz Inversa A-1:
21 ▾ [[-0.31083 -0.12124 -0.12207 -0.05206 -0.05621 -0.03078 -0.01994 -0.01486
22    -0.00870]
23 ▾ [-0.12124 -0.34597 -0.13899 -0.12363 -0.08876 -0.05980 -0.03261 -0.02682
24    -0.01486]
25 ▾ [-0.12207 -0.13899 -0.34929 -0.08460 -0.13609 -0.06333 -0.04716 -0.03261
26    -0.01994]
27 ▾ [-0.05206 -0.12363 -0.08460 -0.35786 -0.16272 -0.14510 -0.06333 -0.05980
28    -0.03078]
29 ▾ [-0.05621 -0.08876 -0.13609 -0.16272 -0.39941 -0.16272 -0.13609 -0.08876
30    -0.05621]
31 ▾ [-0.03078 -0.05980 -0.06333 -0.14510 -0.16272 -0.35786 -0.08460 -0.12363
32    -0.05206]
33 ▾ [-0.01994 -0.03261 -0.04716 -0.06333 -0.13609 -0.08460 -0.34929 -0.13899
34    -0.12207]
35 ▾ [-0.01486 -0.02682 -0.03261 -0.05980 -0.08876 -0.12363 -0.13899 -0.34597
36    -0.12124]
37 ▾ [-0.00870 -0.01486 -0.01994 -0.03078 -0.05621 -0.05206 -0.12207 -0.12124
38    -0.31083]]
39
40 Norma da Matriz Inversa (norma-inf): 1.01840
41
42 -----
43 Tempo de execução: 0.002757 segundos
```

Figura 64 – Saída da Análise de Condicionamento para o Problema 5.5.

Considerações Finais

A escolha de um método numérico é sempre um balanço entre segurança, velocidade e complexidade, e a minha experiência neste projeto ajudou a clarificar quando cada ferramenta se mostra mais adequada.

Para a tarefa de encontrar raízes de funções, onde se busca o valor de x para o qual $f(x)=0$, o **Método da Bissecção** revelou-se a escolha mais segura. A sua maior força é a robustez, com convergência praticamente infalível para um intervalo válido, funcionando como uma "rede de segurança" ideal para garantir uma solução, não importa o tempo. Contudo, a sua convergência linear é lenta, pois avança sobre a raiz de forma metódica, sem acelerar o passo. Como uma melhoria inteligente, o **Método da Posição Falsa** é geralmente mais rápido, pois usa a informação dos valores de $f(x)$ para traçar uma reta secante mais promissora, sendo uma boa opção para acelerar a busca mantendo a segurança de isolar a raiz num intervalo. A sua principal fraqueza, no entanto, é a tendência a estagnar em funções com curvaturas acentuadas. No extremo da velocidade, o **Método de Newton-Raphson** é incomparável, com a sua convergência quadrática, tornando-o a ferramenta de eleição para o "refinamento final" de uma solução quando se exige alta precisão. No entanto, é um método exigente: precisa da derivada, é extremamente sensível a um bom chute inicial e pode divergir espetacularmente. Como alternativa pragmática, o **Método da Secante** oferece uma velocidade quase tão boa, mas com a grande vantagem de não precisar da derivada, representando o melhor equilíbrio entre velocidade e simplicidade quando a derivada é um obstáculo.

No que diz respeito à resolução de sistemas lineares, onde se procura o vetor x que satisfaz a equação $Ax=b$, os métodos dividem-se em duas categorias principais. Os **Métodos Diretos**, como a **Eliminação de Gauss** e a **Fatoração LU**, são a minha escolha padrão para sistemas de pequeno a médio porte onde a exatidão é fundamental. Eles fornecem a solução exata (dentro da precisão da máquina) num número finito de passos. A Fatoração LU, em particular, brilha em cenários onde o mesmo sistema precisa de ser resolvido repetidamente para múltiplos vetores de resultado, pois o maior custo computacional da decomposição é pago uma única vez. Por outro lado, para problemas massivos, como os que surgem na discretização de equações diferenciais, os **Métodos Iterativos** como **Jacobi** e **Gauss-Seidel** são a solução. São muito mais económicos em termos de memória e, muitas vezes, mais rápidos para sistemas de grande escala e esparsos. A sua desvantagem é que a convergência não é garantida e a solução é sempre uma aproximação. Entre os dois, a minha experiência mostrou que o **Gauss-Seidel** é quase sempre preferível, pois a sua convergência é tipicamente mais rápida ao

aproveitar a informação mais recente disponível a cada passo da iteração, acelerando a aproximação da solução.

A aplicação destes algoritmos em problemas práticos, desde circuitos elétricos a sistemas de equações diferenciais, tornou claro que a escolha do método ideal é uma decisão estratégica. Fatores como a natureza da função, as propriedades da matriz – seja a sua esparsidade, dominância diagonal ou o seu número de condição – e a precisão exigida são cruciais para o sucesso computacional.

Ao longo deste projeto, a jornada de transformar algoritmos numéricos em código funcional foi uma experiência de profundo aprendizado. Mais do que apenas implementar fórmulas, este trabalho permitiu-me vivenciar na prática as vantagens, limitações e os contextos ideais para cada método. Transformar a teoria matemática em código Python funcional revelou os desafios reais da análise numérica, como a importância da estabilidade, o impacto da velocidade de convergência e a notável sensibilidade dos métodos às condições iniciais. Este projeto reforçou a minha percepção de que a análise numérica é uma ferramenta indispensável na engenharia e na ciência, atuando como a ponte essencial entre modelos matemáticos abstratos e soluções quantitativas e concretas.